

# Teorema de Jenkins-Serrin em $M^2 \times \mathbb{R}$

por

Ana Lucia Pinheiro Lima

IM - UFRJ

2005

# **Livros Grátis**

<http://www.livrosgratis.com.br>

Milhares de livros grátis para download.

# Teorema de Jenkins-Serrin em $M^2 \times \mathbb{R}$

Ana Lucia Pinheiro Lima

**Orientadores: Profa. Walcy Santos e Prof. Harold Rosenberg**

Tese submetida ao Corpo Docente do Instituto de Matemática da Universidade Federal do Rio de Janeiro - UFRJ, como parte dos requisitos necessários à obtenção do grau de Doutor em Ciências.

Área de Concentração: Matemática Pura.

Aprovada por:

---

Presidente, Profa. Walcy Santos, Orientadora  
Doutora, IM-UFRJ

---

Prof. Harold Rosenberg, Co-orientador  
PhD, Université Paris 7

---

Prof. Manoel P. do Carmo  
PhD, IMPA

---

Prof. Benoit Daniel  
PhD, IMPA

---

Profa. Maria Fernanda Elbert  
Doutora, IM-UFRJ

---

Prof. Ricardo Sá Earp  
Doutor, PUC-Rio

Rio de Janeiro  
Agosto - 2005

Aos meus pais Lúcia e Edvaldo

# Agradecimentos

Ao Professor Harold Rosenberg pela valiosa orientação na elaboração deste trabalho e pela oportunidade de testemunhar o entusiasmo com o qual faz Matemática.

Durante todo o curso de doutorado, contei com a orientação e apoio da Professora Walcy Santos. À ela dedico grande admiração e amizade.

À Professora Bárbara Nelli pelas conversas matemáticas que enriqueceram este trabalho de maneira fundamental e por sua amizade.

Aos Professores Manfredo do Carmo, Ricardo Sá Earp, Benoit Daniel e à Professora Maria Fernanda Elbert pela participação na banca examinadora desta tese e pelos importantes comentários e sugestões.

Ao Professor Hilário Alencar pela confiança que teve no meu trabalho, ao me recomendar como aluna à Universidade Federal do Rio de Janeiro.

Ao Instituto de Matemática da Universidade Federal do Rio de Janeiro, seus professores e funcionários por terem me recebido como aluna e também ao Instituto Nacional de Matemática Pura e Aplicada - IMPA, em particular ao Programa de Cooperação França - Brasil, pelo importante papel que teve na minha formação.

Ao Conselho Nacional de Desenvolvimento Científico e Tecnológico - CNPq - que me concedeu uma bolsa durante a realização deste doutorado.

Finalmente, à minha família que, mesmo distante, é minha fonte de coragem e aos meus amigos, matemáticos ou não, pelos momentos de alegria.

# RESUMO

Teorema de Jenkins-Serrin em  $M^2 \times \mathbb{R}$

Ana Lucia Pinheiro Lima

Orientadores: Profa. Walcy Santos e Prof. Harold Rosenberg

Resumo da Tese de Doutorado submetida ao Programa de Pós-graduação em Matemática, Instituto de Matemática, da Universidade Federal do Rio de Janeiro - UFRJ, como parte dos requisitos necessários à obtenção do título de Doutor em Ciências.

Nós estudamos superfícies mínimas em  $M \times \mathbb{R}$ , onde  $M$  é uma superfície Riemanniana. Estabelecemos a existência e unicidade a solução para o problema de Plateau em  $M \times \mathbb{R}$ , cujo bordo é um gráfico de Nitsche. Superfícies do tipo Scherk existem em  $M \times \mathbb{R}$ . Além disso, provamos que um teorema do tipo Jenkins-Serrin vale nestes espaços. Quando  $M$  é uma esfera de rotação, existem helicóides e ondulóides em  $M \times \mathbb{R}$

Palavras-chave: Gráfico Mínimo, Problema de Plateau.

Rio de Janeiro  
Agosto - 2005

# ABSTRACT

Jenkins-Serrin theorem in  $M^2 \times \mathbb{R}$

Ana Lucia Pinheiro Lima

Orientadores: Profa. Walcy Santos e Prof. Harold Rosenberg

*Abstract* da Tese de Doutorado submetida ao Programa de Pós-graduação em Matemática, Instituto de Matemática, da Universidade Federal do Rio de Janeiro - UFRJ, como parte dos requisitos necessários à obtenção do título de Doutor em Ciências.

We study minimal surfaces in  $M^2 \times \mathbb{R}$ , where  $M$  is a Riemannian surface. There exists a unique solution of the Plateau problem in  $M^2 \times \mathbb{R}$ , which boundary is a Nitsche graph. One has Scherk-type surfaces in  $M^2 \times \mathbb{R}$ . Moreover we prove a Jenkins-Serrin type theorem here. When  $M^2$  is a sphere of revolution there exist helicoids and unduloids in  $M^2 \times \mathbb{R}$ .

Keywords: Minimal Graph, Plateau Problem.

Rio de Janeiro  
Agosto - 2005

# Índice

Introdução	7
1 Exemplos	10
2 Teorema de Rado em $M^2 \times \mathbb{R}$	16
3 Superfície tipo Scherk em $M^2 \times \mathbb{R}$	24
4 Teorema Jenkins-Serrin em $M^2 \times \mathbb{R}$	39
Bibliografia	75

# Introdução

Desde o século XIX, quando começou o estudo das superfícies mínimas, estas vêm despertando muito interesse nos matemáticos.

Inicialmente, de maneira natural, o espaço ambiente estudado era o  $\mathbb{R}^3$ . A partir do artigo “*Minimal Surfaces in  $M^2 \times \mathbb{R}$* ”, de H. Rosenberg em 2002, desenvolveu-se o estudo de superfícies mínimas em espaços ambiente do tipo  $M^2 \times \mathbb{R}$ , onde  $M^2$  é uma variedade Riemanniana completa, de dimensão 2. No referido artigo,  $M^2 = \mathbb{S}^2$  esfera redonda.

Agora, o objetivo deste trabalho é estudar as superfícies mínimas em  $M^2 \times \mathbb{R}$ , quando  $M^2$  é uma superfície Riemanniana qualquer.

O resultado principal é um Teorema do tipo Jenkins-Serrin que dá condições necessárias e suficientes para a existência de gráfico vertical mínimo em  $M^2 \times \mathbb{R}$ , definido em um domínio de  $M^2$ , cujo bordo é formado por arcos geodésicos e por arcos convexos. A aplicação que define o gráfico assume valores  $+\infty$  e  $-\infty$  em arcos geodésicos do bordo e dados contínuos, fixados *a priori*, nos arcos convexos.

Esse resultado foi inicialmente demonstrado por Jenkins e Serrin, em [JS], para domínios em  $\mathbb{R}^2$  e depois, por Nelli e Rosenberg, para domínios em  $\mathbb{H}^2$ - espaço hiperbólico (ver [NR]).

Para enunciar o Teorema é preciso estabelecer algumas notações.

Seja  $M$  uma variedade Riemanniana completa,  $\dim M = 2$ , e  $D \subset M$  um domínio limitado, aberto, geodesicamente convexo, mergulhado.

Suponhamos que  $\partial D$  contém dois conjuntos de arcos geodésicos abertos  $A_1, \dots, A_k$  e  $B_1, \dots, B_l$  de maneira que, nem dois arcos  $A_i$ , nem dois arcos  $B_j$ , têm pontos finais em comum. A parte restante de  $\partial D$  é a união de arcos abertos convexos  $C_1, \dots, C_h$  e todos os pontos finais dos arcos anteriores.

Além disso, sejam  $f^s : C_s \rightarrow \mathbb{R}$  funções contínuas,  $s = 1, \dots, h$  tais que,  $\lim_{x \rightarrow \partial C_s} f^s(x) < \infty$ ,  $\forall s = 1, \dots, h$ .

Seja  $\mathcal{P}$  um polígono geodésico inscrito em  $D$ , cujos vértices são escolhidos entre os vértices de  $A_i$  e  $B_j$ , definimos

$$\alpha := \sum_{A_i \subset \mathcal{P}} \|A_i\|, \quad \beta := \sum_{B_j \subset \mathcal{P}} \|B_j\|, \quad \gamma := \text{perímetro}(\mathcal{P}).$$

Enunciemos então o Teorema:

**Teorema (Jenkins-Serrin em  $M^2 \times \mathbb{R}$ ).** Consideremos  $M$  uma superfície Riemanniana,  $D \subset M$  um domínio,  $\mathcal{P} \subset D$  um polígono e  $f^s : C_s \rightarrow \mathbb{R}$  funções,  $s = 1, \dots, h$ , onde  $M$ ,  $D$ ,  $\mathcal{P}$  e  $f^s$  satisfazem as hipóteses anteriores. Se  $C_s \neq \emptyset$  então, existe uma aplicação  $u : D \rightarrow \mathbb{R}$  cujo gráfico é uma superfície mínima em  $D \times \mathbb{R}$  e que satisfaz

$$u|_{A_i} = +\infty, \quad u|_{B_j} = -\infty, \quad u|_{C_s} = f^s$$

se, e somente se,

$$2 \cdot \alpha < \gamma, \quad 2 \cdot \beta < \gamma, \quad (1)$$

para cada polígono  $\mathcal{P}$  inscrito em  $D$ .

Se  $\{C_s\} = \emptyset$ , trocamos a condição (1) por  $\alpha = \beta$ , no caso em que  $\mathcal{P} = \partial D$  e o resultado é o mesmo.

A ferramenta fundamental para a prova deste resultado é uma superfície tipo Scherk em  $M^2 \times \mathbb{R}$ , ou seja, um gráfico vertical mínimo, definido em um triângulo geodésico, contido em  $M$ , que assume valor infinito em um dos lados do triângulo e zero nos outros dois.

A prova da existência da superfície de Scherk em  $M^2 \times \mathbb{R}$  também é feita neste trabalho. De fato, dados  $D \subset M$  um domínio geodesicamente convexo e  $\Delta \subset D$  um triângulo geodésico com lados  $a$ ,  $b$ ,  $c$  e a solução para o Problema de Plateau  $u(T)$  com bordo  $a(T) \cup b \cup c \cup V$ , onde  $a(T)$  é o lado  $a$  elevado a uma altura  $T \in \mathbb{R}$  e  $V$  é o conjunto dos segmentos verticais ligando os pontos finais de  $b$ ,  $c$ , temos o seguinte resultado:

**Teorema (Superfície de Scherk em  $M^2 \times \mathbb{R}$ ).** Quando  $T \rightarrow \infty$ , a sequência  $\{u_T\}$  converge para uma aplicação  $u$ , de gráfico mínimo, definida em  $\Delta - \bar{a}$ , que satisfaz

$$u|_b = u|_c = 0 \quad e \quad \lim_{x \rightarrow \text{int}(a)} u(x) = \infty.$$

O gráfico de  $u$  é chamado *Superfície de Scherk em  $M^2 \times \mathbb{R}$* .

Apresentamos ainda o Teorema que garante a existência e unicidade da solução  $u(T)$  do Problema de Plateau em  $M^2 \times \mathbb{R}$  usada na construção da superfície de Scherk. O bordo dessas superfícies são *gráficos de Nitsche* sobre o bordo do domínio de definição. Geometricamente falando, os gráficos de Nitsche sobre o bordo de um domínio  $D$  contido em  $M$  são curvas de Jordan contidas em  $(\partial D) \times \mathbb{R}$  que possuem segmentos verticais.

O enunciado do Teorema é o seguinte:

**Teorema(Rado em  $M^2 \times \mathbb{R}$ ).** *Sejam  $D \subset M$  um disco mergulhado, geodesicamente convexo e  $\Gamma \subset M^2 \times \mathbb{R}$  um gráfico de Nitsche sobre  $\partial D$ . Então, existe disco mínimo  $\Sigma \subset D \times \mathbb{R}$  tal que  $\partial\Sigma = \Gamma$  e  $\Sigma$  é gráfico sobre  $\text{int } D$ . Tal  $\Sigma$  é único.*

A unicidade desse gráfico é consequência de um Princípio do Máximo Geral para soluções mínimas, cujos bordos são gráficos de Nitsche sobre o bordo do domínio de definição.

No caso particular em que  $M = \mathbb{S}_g^2$  - esfera de rotação, apresentamos dois exemplos de superfícies mínimas em  $\mathbb{S}_g^2 \times \mathbb{R}$ : o *Helicóide* e o *Ondulóide*.

A estrutura do trabalho é a seguinte: no Capítulo 1, apresentamos os exemplos de superfícies mínimas em  $\mathbb{S}_g^2 \times \mathbb{R}$ ; no Capítulo 2 enunciamos e demonstramos o Teorema de Rado em  $M^2 \times \mathbb{R}$  e o Princípio do Máximo Geral; a construção da superfície tipo Scherk é feita no Capítulo 3 e o Teorema de Jenkins-Serrin em  $M^2 \times \mathbb{R}$  é feito no Capítulo 4.

# Capítulo 1

## Exemplos

O objetivo deste capítulo inicial é apresentar dois exemplos de superfícies mínimas em espaços do tipo  $M^2 \times \mathbb{R}$ , no caso particular em que  $M^2$  é uma esfera bidimensional munida com uma métrica de rotação  $g$ . Denotaremos esta superfície por  $\mathbb{S}_g^2$ .

Construímos Helicóides e Ondulóides em  $\mathbb{S}_g^2 \times \mathbb{R}$ .

**Teorema 1.1.** *Seja  $\gamma$  meridiano da superfície  $\mathbb{S}_g^2$ . Fazendo uma rotação da curva  $\gamma$  a uma velocidade constante, enquanto a deslocamos na direção vertical com a mesma velocidade, construímos um anel mínimo completo  $H$  em  $\mathbb{S}_g^2 \times \mathbb{R}$ .*

Tal  $H$  é chamado *Helicóide*.

*Prova.* Seja  $\gamma(f(u)) = (x(f(u)), z(f(u))) \subset \mathbb{R}^3$  uma curva geratriz da superfície  $\mathbb{S}_g^2$ , ou seja,  $\gamma$  é um meridiano de  $\mathbb{S}_g^2$ .

$\mathbb{S}_g^2$  pode ser parametrizada pela aplicação

$$W(u, v) = (x(f(u)) \cos v, x(f(u)) \sin v, z(f(u))).$$

Seja  $H$  a superfície em  $\mathbb{S}_g^2 \times \mathbb{R}$  gerada pela rotação e deslocamento vertical do meridiano  $\gamma$ , à uma mesma velocidade constante. Parametrizamos  $H$  por

$$X(u, v) = (x(f(u)) \cos v, x(f(u)) \sin v, z(f(u)), a \cdot v),$$

onde  $a \in \mathbb{R}$  é constante positiva.

Como

$$\begin{aligned} \frac{\partial X}{\partial u} &= (x'(f(u)) \cdot f'(u) \cdot \cos v, x'(f(u)) \cdot f'(u) \cdot \sin v, z'(f(u)) \cdot f'(u), 0), \\ \frac{\partial X}{\partial v} &= (-x(f(u)) \cdot \sin v, x(f(u)) \cdot \cos v, 0, a), \end{aligned}$$

temos que

$$\begin{aligned} \left\langle \frac{\partial X}{\partial u}, \frac{\partial X}{\partial v} \right\rangle &= 0, \\ \left| \frac{\partial X}{\partial u} \right|^2 &= (f'(u))^2((x'(f(u)))^2 + (z'(f(u)))^2), \\ \left| \frac{\partial X}{\partial v} \right|^2 &= x^2(f(u)) + 1. \end{aligned}$$

Portanto, a aplicação  $X$  é conforme em termos de  $u + i \cdot v$  se, e somente se,  $f$  satisfaz a relação

$$(f'(u))^2 = \frac{x^2(f(u)) + 1}{(x'(f(u))^2 + (z'(f(u)))^2)}. \quad (1.1)$$

Por outro lado, dadas  $\overline{M} \subset \mathbb{R}^n$  subvariedade mergulhada e  $X : M \rightarrow \overline{M} \subset \mathbb{R}^n$  imersão de uma variedade  $M$  em  $\overline{M}$  com vetor curvatura média, igual ao traço da segunda forma fundamental,  $H$  e  $\overline{H}$  em  $\overline{M}$  e  $\mathbb{R}^n$ , respectivamente, temos a seguinte relação:

$$H = \overline{H}^T = (\Delta X)^T,$$

onde  $(\Delta X)^T$  é a projeção ortogonal do vetor  $\Delta X \in T_p \mathbb{R}^N$ ,  $p \in M$ , em  $T_p M$  (Para referência deste fato, ver [La], p. 16.). Assim, para provarmos que o Helicóide  $H$  é mínimo em  $\mathbb{S}_g^2 \times \mathbb{R}$  mostraremos que, em todo ponto  $p \in X(u, v)$  a projeção ortogonal do vetor  $\Delta X$  em  $T_p(\mathbb{S}_g^2 \times \mathbb{R})$  é nula.

Uma parametrização para  $\mathbb{S}_g^2 \times \mathbb{R}$  em  $\mathbb{R}^4$  é

$$Y(u, v, t) = (x(f(u)) \cdot \cos v, x(f(u)) \cdot \sin v, y(f(u)), t).$$

Daí,

$$\begin{aligned} \frac{\partial Y}{\partial u} &= (x'(f(u)) \cdot f'(u) \cdot \cos v, x'(f(u)) \cdot f'(u) \cdot \sin v, y'(f(u)) \cdot f'(u), 0), \\ \frac{\partial Y}{\partial v} &= (-x(f(u)) \cdot \sin v, x(f(u)) \cdot \cos v, 0, 0), \\ \frac{\partial Y}{\partial t} &= (0, 0, 0, 1) \end{aligned}$$

formam base para  $T_p(\mathbb{S}_g^2 \times \mathbb{R})$ .

Além disso,

$$\begin{aligned} \Delta X = & ( [x''(f(u)) \cdot f'(u)^2 + x'(f(u)) \cdot f''(u) - x(f(u))] \cdot \cos v, \\ & [x''(f(u)) \cdot f'(u)^2 + x'(f(u)) \cdot f''(u) - x(f(u))] \cdot \sin v, \\ & y''(f(u)) \cdot f'(u)^2 + y'(f(u)) \cdot f''(u), 0 ). \end{aligned}$$

Claramente,  $\langle \Delta X, \frac{\partial Y}{\partial v} \rangle = \langle \Delta X, \frac{\partial Y}{\partial t} \rangle = 0$ .

Supondo que a parametrização  $X$  é conforme, isto é, supondo que a aplicação  $f$  satisfaz a igualdade (1.1) mostraremos que  $\langle \Delta X, \frac{\partial Y}{\partial u} \rangle = 0$ .

De fato,

$$\begin{aligned} \left\langle \Delta X, \frac{\partial Y}{\partial v} \right\rangle &= x''(f(u))f'(u)^2x'(f(u))f'(u) + \\ &+ x'(f(u))f''(u)x'(f(u))f'(u) - \\ &- x(f(u))x'(f(u))f'(u) + \\ &+ z''(f(u))f'(u)^2z'(f(u))f'(u) + \\ &+ z'(f(u))f''(u)z'(f(u))f'(u) \\ &= x''(f(u))x'(f(u))f'(u)^2f'(u) + \\ &+ x'(f(u))^2f'(u)f''(u) - \\ &- x(f(u))x'(f(u))f'(u) + \\ &+ z''(f(u))z'(f(u))f'(u)^2f'(u) + \\ &+ z'(f(u))^2f'(u)f''(u) \\ &= x''(f(u))x'(f(u)) \cdot \left( \frac{x^2(f(u)) + 1}{x'(f(u))^2 + z'(f(u))^2} \right) \cdot f'(u) + \\ &+ [(x'(f(u))^2 + z'(f(u))^2) \cdot f'(u)f''(u) - \\ &- x(f(u))x'(f(u))f'(u) + \\ &+ z''(f(u))z'(f(u)) \cdot \left( \frac{x^2(f(u)) + 1}{x'(f(u))^2 + z'(f(u))^2} \right) \cdot f'(u) ]. \end{aligned}$$

E, como

$$\begin{aligned} f'(u)f''(u) &= \frac{x(f(u))x'(f(u))f'(u)}{x'(f(u))^2 + z'(f(u))^2} - \\ &- (x^2(f(u)) + 1) \cdot \frac{[x'(f(u))x''(f(u))f'(u) + z'(f(u))z''(f(u))f'(u)]}{[x'(f(u))^2 + z'(f(u))^2]^2}, \end{aligned}$$

temos

$$\begin{aligned}
\left\langle \Delta X, \frac{\partial Y}{\partial v} \right\rangle &= \frac{x''(f(u))x'(f(u))x^2(f(u))f'(u)}{x'(f(u))^2 + z'(f(u))^2} + \\
&+ \frac{x''(f(u))x'(f(u))f'(u)}{x'(f(u))^2 + z'(f(u))^2} + \\
&+ x(f(u))x'(f(u))f'(u) - \\
&- (x^2(f(u)) + 1) \left( \frac{x'(f(u))x''(f(u))f'(u) + z'(f(u))z''(f(u))f'(u)}{x'(f(u))^2 + z'(f(u))^2} \right) - \\
&- x(f(u))x'(f(u))f'(u) + \\
&+ \frac{z''(f(u))z'(f(u))x^2(f(u))f'(u)}{x'(f(u))^2 + z'(f(u))^2} + \\
&+ \frac{z''(f(u))z'(f(u))f'(u)}{x'(f(u))^2 + z'(f(u))^2} \\
&= \frac{x''(f(u))x'(f(u))x^2(f(u))f'(u)}{x'(f(u))^2 + z'(f(u))^2} + \\
&+ \frac{x''(f(u))x'(f(u))f'(u)}{x'(f(u))^2 + z'(f(u))^2} + \\
&- \frac{x^2(f(u))x'(f(u))x''(f(u))f'(u)}{x'(f(u))^2 + z'(f(u))^2} \\
&- \frac{x^2(f(u))z'(f(u))z''(f(u))f'(u)}{x'(f(u))^2 + z'(f(u))^2} - \\
&- \frac{x'(f(u))x''(f(u))f'(u)}{x'(f(u))^2 + z'(f(u))^2} + \\
&- \frac{z'(f(u))z''(f(u))f'(u)}{x'(f(u))^2 + z'(f(u))^2} + \\
&+ \frac{z''(f(u))z'(f(u))x^2(f(u))f'(u)}{x'(f(u))^2 + z'(f(u))^2} + \\
&+ \frac{z''(f(u))z'(f(u))f'(u)}{x'(f(u))^2 + z'(f(u))^2} \\
&= 0.
\end{aligned}$$

Portanto,  $X$  é uma parametrização conforme e harmônica de  $H$ . Em particular, o Helicóide  $H$  é uma superfície mínima em  $\mathbb{S}_g^2$ . ■

O resultado que garante a existência do Ondulóide em  $\mathbb{S}_g^2 \times \mathbb{R}$  será enunciado em um espaço mais geral. Usaremos a notação  $M(t)$  para a superfície  $M \times \{t\}$ ,  $t \in \mathbb{R}$ , contida em  $M \times \mathbb{R}$ .

**Teorema 1.2.** *Sejam  $M$  variedade Riemanniana completa,  $\dim M = 2$ , e  $f : M \rightarrow M$  isometria tal que  $f^2 = id$ . Suponhamos que o conjunto dos pontos fixos de  $f$  é uma curva de Jordan  $\gamma \subset M$ . Então, existe uma superfície mínima  $\Sigma_T \subset M^2 \times \mathbb{R}$ , conexa, instável, tal que,  $\partial \Sigma_T = \gamma(0) \cup \gamma(T)$ . Além disso,  $\Sigma_T$  pode ser estendida a uma superfície  $\Sigma$  mínima, conexa, completa, mergulhada em  $M^2 \times \mathbb{R}$ .*

A superfície  $\Sigma$  é chamada Ondulóide em  $M^2 \times \mathbb{R}$ .

*Prova.* Como  $\gamma$  é geodésica fechada de  $M^2$ , a superfície  $\gamma \times \mathbb{R}$  é um anel totalmente geodésico em  $M^2 \times \mathbb{R}$ . Para  $T > 0$ ,  $T$  pequeno, a parte do anel  $\gamma \times \mathbb{R}$  entre as alturas 0 e  $T$  é uma superfície mínima estável com bordo  $\gamma(0) \cup \gamma(T)$ .

Por outro lado,  $\gamma(0) \cup \gamma(T)$  limita outra superfície mínima estável em  $M^2 \times \mathbb{R}$  : a união de duas superfícies horizontais limitadas por  $\gamma(0)$  em  $M(0)$  e por  $\gamma(T)$  em  $M(T)$ .

Então, por um argumento minimax, existe superfície mínima instável  $\Sigma_T$  em  $M^2 \times \mathbb{R}$  com bordo  $\gamma(0) \cup \gamma(T)$ .

$\Sigma_T$  pode ser estendido a uma superfície mínima  $\Sigma$  completa por rotação de um ângulo  $\pi$  sobre o bordo geodésico. Essa rotação sobre  $C(0)$  é a composição da isometria  $(x, t) \mapsto (x, -t)$  de  $M^2 \times \mathbb{R}$  e da isometria  $f_t$  que fixa  $\gamma(t)$  em cada  $M(t)$ .

Portanto, o Ondulóide  $\Sigma$  existe em  $M^2 \times \mathbb{R}$  como afirmamos e o Teorema está demonstrado. ■

Em particular, na superfície  $\mathbb{S}_g^2$  cada meridiano  $\gamma$  é fixado pela reflexão de  $\mathbb{S}_g^2$  por esta  $\gamma$ , que é isometria de  $\mathbb{S}_g^2$ . Então, pelo mesmo argumento usado na prova do Teorema acima, existe superfície  $\Sigma_T$  mínima instável, com bordo  $\gamma(0) \cup \gamma(T)$ ,  $T > 0$ ,  $T$  pequeno.

Afirmamos que  $\Sigma_T$  é um anel conexo. De fato, pelo Teorema 1.1, temos que existe um helicóide  $H$  mínimo em  $\mathbb{S}_g^2 \times \mathbb{R}$  com bordo  $\gamma(0) \cup \gamma(T)$ . Consideremos  $T$  suficientemente pequeno de modo que tenhamos  $H$  estável. Além disso, os discos  $D(0) \subset \mathbb{S}_g^2(0)$  e  $D(T) \subset \mathbb{S}_g^2(T)$  com bordo  $\gamma(0)$  e  $\gamma(T)$ , respectivamente, também são superfícies mínimas estáveis e são disjuntos do helicóide  $H$ .

É possível construir uma família a 1-parâmetro de anéis mergulhados em  $\mathbb{S}_g^2 \times [0, T]$  que liga o helicóide a união dos discos. As superfícies desta família possuem todas

gênero igual a 1, bordo  $\gamma(0) \cup \gamma(T)$  e são topologicamente paralelas e disjuntas do helicóide  $H$ , exceto pelo bordo. A aplicação área é contínua nesta família.

Consideremos a bola  $B = H \cup D(0) \cup D(T)$ . Em  $B$ , temos duas superfícies mínimas estáveis com o mesmo bordo  $\gamma(0) \cup \gamma(T)$ . Tais superfícies, como já vimos são ligadas por uma família de anéis mergulhados com mesmo bordo. Como a área é contínua nesta família, podemos aplicar um argumento minimax para garantir que  $\gamma(0) \cup \gamma(T)$  é o bordo de um anel mínimo instável  $\Sigma_T \subset \mathbb{S}_g^2 \times [0, T] - H$ .

Pelo mesmo argumento feito na prova do Teorema 1.2, este anel  $\Sigma_T$  pode ser estendido a um anel  $\Sigma$  mínimo, completo em  $\mathbb{S}_g^2 \times \mathbb{R}$ , chamado *Ondulóide em  $\mathbb{S}_g^2 \times \mathbb{R}$* .

## Capítulo 2

### Teorema de Rado em $M^2 \times \mathbb{R}$

Sejam  $M$  uma variedade Riemanniana completa,  $\dim M = 2$  e  $D \subset M$  um disco, mergulhado e geodesicamente convexo.  $D$  geodesicamente convexo significa que  $\forall p, q \in D$ , existe uma única geodésica minimizante  $\gamma_{pq}$  ligando  $p$  a  $q$  e  $\gamma_{pq} \subset D$ . Por exemplo, um hemisfério aberto é um domínio geodesicamente convexo em uma esfera redonda, enquanto que um hemisfério fechado não é.

Dizemos que  $\Gamma \subset M \times \mathbb{R}$  é um *gráfico de Nitsche* sobre  $\partial D$  se  $\Gamma$  é curva de Jordan parametrizada por  $\{(\alpha(s), t(s)), 0 \leq s \leq l(s)\}$  de modo que a projeção ortogonal de  $\Gamma$  sobre  $M$  é uma parametrização monótona  $\alpha(s)$  da curva  $\partial D$ . Dizer que  $\alpha(s)$  é uma *parametrização monótona de  $\partial D$*  significa que existem intervalos  $J_1, \dots, J_l \subset \mathbb{S}^1$  disjuntos, tais que,  $\alpha : \mathbb{S}^1 \rightarrow \partial D$  é contínua,  $\alpha|_{\mathbb{S}^1 - \cup_{k=1}^l J_k}$  é injetiva e de *rank* 1 em cada ponto,  $\alpha|_{J_k}$  é constante  $\forall k$  e, quando identificamos cada  $J_k$  num ponto, a aplicação induzida por  $\alpha$  sobre o quociente de  $\mathbb{S}^1$  é um homeomorfismo. Geometricamente falando, podemos permitir segmentos verticais de  $\partial(D \times \mathbb{R})$  contidos na curva  $\Gamma$ .

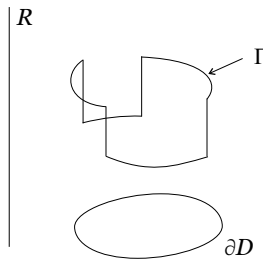


Figura 2.1: Gráfico de Nitsche  $\Gamma$

Com as considerações acima, o resultado a seguir garante a existência e unicidade de soluções do tipo disco para o problema de Plateau em  $M^2 \times \mathbb{R}$ , cujo bordo é gráfico de Nitsche.

**Teorema 2.1 (Rado em  $M^2 \times \mathbb{R}$ ).** *Sejam  $D \subset M$  um disco compacto, mergulhado, geodesicamente convexo e  $\Gamma \subset M^2 \times \mathbb{R}$  um gráfico de Nitsche sobre  $\partial D$ .*

*Então, existe disco mínimo  $\Sigma \subset D \times \mathbb{R}$  tal que  $\partial\Sigma = \Gamma$  e  $\Sigma$  é gráfico sobre  $\text{int } D$ . Tal  $\Sigma$  é único.*

*Prova.* Para garantirmos que  $\Sigma$  existe, precisamos fazer algumas considerações.

Em 1948, C. Morrey, em [Mo], garantiu a existência de uma solução para o problema de Plateau em uma variedade Riemanniana “homogeneamente regular”. Tal solução não é necessariamente mergulhada e pode possuir *branch points*. Em 1968, Osserman [Os] provou que de fato, *branch points* não existem sobre a solução conseguida por Morrey. Mais recentemente, W. Meeks III e S.-T.-Yau estabeleceram condições onde a solução é mergulhada.

A variedade ambiente nesse caso é uma 3–variedade Riemanniana  $M$  completa, cujo bordo é *mean-convexo suave por partes*, ou seja,  $\partial M$  é formado por um número finito de superfícies suaves, com ângulo entre elas menor ou igual a  $\pi$ , cada um com curvatura média não-negativa com respeito ao vetor normal apontando para dentro.

Eles afirmam que o bordo de tal variedade é uma boa-barreira para resolver o problema de Plateau no seguinte sentido:

**Teorema ([MY1], [MY2]).** *Seja  $M$  uma 3–variedade Riemanniana completa, com bordo mean-convexo suave por partes. Seja  $\Gamma$  uma curva fechada simples em  $\partial M$  que é homotopicamente nula em  $M$ . Então, existe disco mergulhado  $\Sigma \subset M$ , com  $\partial\Sigma = \Gamma$ , que minimiza área entre todos os discos com mesmo bordo.*

Então, sendo  $D$  geodesicamente convexo, temos que  $\partial(D \times \mathbb{R})$  é *mean-convexo* e além disso,  $\Gamma$  satisfaz as hipóteses do Teorema acima.

Portanto, o Teorema acima garante que existe  $\Sigma$  disco mínimo contido em  $D \times \mathbb{R}$  mergulhado, tal que  $\partial\Sigma = \Gamma$ .

Suponhamos, por absurdo, que  $\Sigma$  não é gráfico sobre  $\text{int } D$ , ou seja, suponhamos que existe um ponto  $p \in \text{int } \Sigma$  tal que  $p \in M(c) := M \times \{c\}$ , para algum  $c \in \mathbb{R}$ , e o plano  $P$  tangente a  $\Sigma$  em  $p$  é vertical em  $D \times \mathbb{R}$ .

Sendo  $P$  vertical, existe uma base de  $P$  formada pelos vetores  $\frac{\partial}{\partial t}$  e  $v$ , onde  $\frac{\partial}{\partial t}$  é vetor tangente a  $\Sigma$  na direção  $\mathbb{R}$  e  $v$  é tangente a  $M(c)$  em  $p$ . Suponhamos que  $\|v\| = 1$ .

Caso  $c \in \mathbb{R}$  seja diferente de zero, transladamos verticalmente a superfície  $\Sigma$  de modo que tenhamos  $h(p) = 0$ , onde  $h : D \times \mathbb{R} \rightarrow \mathbb{R}$  é função altura, isto é,  $h(p, t) = t, \forall (p, t) \in D \times \mathbb{R}$ , observando que translações verticais são isometrias em  $M^2 \times \mathbb{R}$ .

Agora, existe uma única geodésica  $\gamma_p \subset M(0)$  tal que  $\gamma(0) = p$  e  $\gamma'(0) = v$ .

Afirmamos que  $\gamma_p$  intersecta  $\partial D$  em exatamente dois pontos.

De fato,  $\forall p \in D$ , não existe ponto conjugado a  $p$  contido em  $D$  pois, como  $D$  é geodesicamente convexo, existe uma única geodésica minimizante ligando dois pontos distintos de  $D$  e tal geodésica está contida em  $D$ . Assim,  $\forall p \in D$ ,  $\partial D$  está contido na bola geodésica  $B(p, \epsilon)$  centrada em  $p$ , onde a aplicação  $\exp_p$  é um difeomorfismo.

Isto significa que  $\forall p \in \text{int } D, \forall v \in T_p M$  e  $\forall q \in \partial D$  existe uma única geodésica minimizante  $\gamma_{pq} \subset D$ , saindo de  $p$ , com velocidade  $v$ , tal que  $\gamma_{pq} \cap \partial D = \{q\}$ .

Como  $\gamma_{pq}$  pode ser continuada no outro sentido de modo que  $\gamma_{pq} \cup \partial D = \{q_1, q_2\}$ , a afirmação é verdadeira.

Por outro lado, a superfície  $\gamma_p \times \mathbb{R}$  é totalmente geodésica, em particular mínima, em  $M \times \mathbb{R}$ . Além disso,  $T_p(\gamma_p \times \mathbb{R}) = P$  e daí,  $\gamma_p \times \mathbb{R}$  e  $\Sigma$  intersectam-se tangencialmente em  $p$ .

O resultado enunciado a seguir descreve localmente a interseção de superfícies mínimas imersas em uma 3-variedade Riemanniana. Uma referência atual para a prova deste fato é [CM], p. 103.

**Teorema (Descrição local para interseção de superfícies mínimas).** *Sejam  $\Sigma_1, \Sigma_2$  superfícies mínimas, conexas, suaves, imersas em uma 3-variedade  $M$ , que não coincidem em um conjunto aberto. Então,  $\Sigma_1, \Sigma_2$  intersectam-se transversalmente, exceto num conjunto  $E$  de pontos isolados. Dado  $x \in E$ , existe um inteiro  $d \geq 2$  e uma vizinhança  $U$  de  $x$ , onde a interseção é formada por  $2 \cdot d$  arcos mergulhados que se encontram transversalmente em  $x$ .*

Então, pelo Teorema acima existe uma vizinhança de  $p$  em  $\Sigma$ , onde o conjunto  $I = \Sigma \cap (\gamma_p \times \mathbb{R})$  é formado por, no mínimo, quatro curvas que se encontram em  $p$ .

O conjunto  $I$  é fechado. Logo, ou as curvas de  $I$  que se encontram em  $p$  vão para  $\partial \Sigma$ , ou existe ciclo  $\alpha \subset I, p \in \alpha$ .

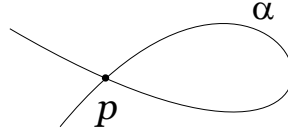


Figura 2.2: Ciclo  $\alpha \subset I$

Suponhamos inicialmente que duas destas curvas se encontram em um ponto de  $I - \partial\Sigma$ , formando um ciclo  $\alpha$ . Como  $\alpha \subset (\Sigma \cap \gamma_p \times \mathbb{R})$  e  $\Sigma$  é um disco, concluímos que existe um disco  $D_\Sigma \subset \Sigma$ , cujo bordo é  $\alpha$ .

Então, existe um ponto  $q \in D_\Sigma$  onde a distância entre  $D_\Sigma$  e  $\gamma_p \times \mathbb{R}$  é máxima, e tal distância é estritamente positiva.

Seja  $R$  a região conexa do domínio  $D \in M(0)$  limitada por  $\gamma_p$  e  $\partial D$  que contém a projeção do ponto  $q \in D_\Sigma$ .

Seja  $\beta = \partial R \cap \partial D$ .

Fixando um ponto  $y \in \beta$ , parametrizamos esta curva por

$$\beta : [-1, 1] \rightarrow D; \beta(0) = y, \beta(1) = q_1, \beta(-1) = q_2 .$$

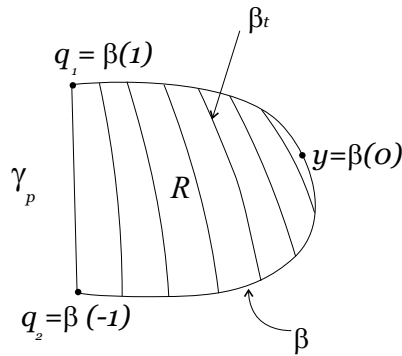


Figura 2.3: Folheação de  $R$

Consideremos  $F = \{\beta_t\}_{0 \leq t \leq 1}$  folheação de  $R$ , onde  $\beta_t : [0, 1] \rightarrow \mathbb{R}$  é a única geodésica de  $R$  ligando os pontos  $\beta(t)$  e  $\beta(-t)$ .

Então, fazendo  $t$  variar de 0 a 1, existe um menor  $t_0 < 1$ , tal que a superfície totalmente geodésica  $\beta_t \times \mathbb{R}$  toca o disco  $D_\Sigma \subset \Sigma$  exatamente no ponto  $q \in \text{int } \Sigma$ .

Isso implica, pelo Princípio do Máximo Clássico, que  $\Sigma = \beta_{t_0} \times \mathbb{R}$ . Absurdo.

Portanto, as curvas do conjunto  $I = \Sigma \cap (\gamma_p \times \mathbb{R})$  vão para  $\partial\Sigma$ .

Temos dois casos a considerar. O primeiro caso é quando duas ou mais destas curvas se encontram num mesmo ponto do bordo ou intersectam o bordo num mesmo segmento vertical.

Então, teremos novamente disco  $D_\Sigma \subset \Sigma$  com bordo contido em  $\gamma_p \times \mathbb{R}$ . Observe-mos que  $D_\Sigma$  conterá pontos, ou até segmentos, do bordo de  $\Sigma$ . Mas, como os pontos do bordo também pertencem a  $\Sigma$  é verdade que  $D_\Sigma \subset \Sigma$ .

De modo análogo ao feito anteriormente, podemos encontrar superfícies  $\beta_t \times \mathbb{R}$ ,  $\beta_t$  geodésica de  $D$ , que toca  $D_\Sigma$  num primeiro ponto interior, gerando uma contradição.

A outra possibilidade ocorre quando as curvas do conjunto  $I$  intersectam  $\partial\Sigma$  em pontos distintos cujas projeções em  $\partial D$  são também distintas. Neste caso, existem ao menos quatro pontos distintos em  $(\pi(\partial\Sigma \cap (\gamma_p \times \mathbb{R}))) \cap \partial D$ , onde  $\pi : D \times \mathbb{R} \rightarrow D$  é a projeção vertical. Mas, vimos antes que  $\partial D \cap \gamma_p = \{q_1, q_2\}$ . Temos então, uma contradição.

Portanto,  $\Sigma$  é um gráfico sobre  $\text{int } D$ .

Sabendo que o disco mínimo  $\Sigma \subset D \times \mathbb{R}$  cujo bordo  $\partial\Sigma$  possui projeção vertical monótona sobre  $\partial D$ , é um gráfico sobre  $\text{int } D$  podemos usar o seguinte Princípio do Máximo Geral para garantir que  $\Sigma$  é único.

**Teorema 2.2 (Princípio do Máximo Geral).** *Sejam  $M$  uma superfície Riemanniana,  $D \subset M$  um domínio compacto, mergulhado, geodesicamente convexo,  $C = \{P_1, \dots, P_k\} \subset \partial D$  um conjunto finito de pontos e  $\Gamma_1, \Gamma_2 \subset M \times \mathbb{R}$  gráficos de Nitsche sobre  $\partial D$  tais que a projeção vertical  $\pi_n : \Gamma_n \rightarrow \partial D$  satisfaz a seguinte propriedade:  $\pi^{-1}(P_i) \subset \Gamma_n$  é um segmento vertical,  $\forall P_i \in C$  e  $\forall n = 1, 2$ .  
Sejam  $u_1, u_2 : D \rightarrow \mathbb{R}$  soluções mínimas em  $D \times \mathbb{R}$  tais que*

$$\partial(\text{graf } u_1) = \Gamma_1 \quad \text{e} \quad \partial(\text{graf } u_2) = \Gamma_2 .$$

*Suponhamos que  $u_1 \leq u_2$  em  $\partial D - C$ . Então,  $u_1 \leq u_2$  em  $\text{int } D$ .*

*Prova.* Suponhamos, por absurdo, que  $u_1 \leq u_2$  em  $\partial D - C$  mas,  $u_1 \not\leq u_2$  em  $\text{int } D$ .

Denotemos por  $\Sigma_1, \Sigma_2$  os gráficos de  $u_1$  e  $u_2$ , respectivamente. Transladamos verticalmente  $\Sigma_1$  até que tenhamos  $u_1 < u_2$  em  $\partial D - C$ ,  $I = \Sigma_1 \cap \Sigma_2 \neq \emptyset$  e  $\Sigma_1$  transversal a  $\Sigma_2$  em  $I$ .

Seja  $\pi : M \times \mathbb{R} \rightarrow M$  a projeção vertical.

Como agora  $u_1 < u_2$  em  $\partial D - C$ , temos  $\pi(I) \subset \text{int } D$  e  $\overline{\pi(I)} \subset (\text{int } D) \cup C$ .

**Afirmção 2.1.** *Existe componente conexa  $U \subset \text{int } D - \pi(I)$  tal que  $\partial U \subset \overline{\pi(I)}$ .*

*Prova da afirmação.* De fato, se existe um ciclo  $\gamma \subset \overline{\pi(I)}$ , então a afirmação é verdadeira.

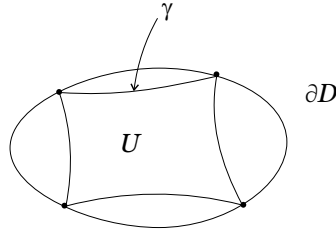


Figura 2.4: Ciclo  $\gamma$

Suponhamos que não existe ciclo em  $\overline{\pi(I)}$ .

Para simplificar, vamos supor que  $C = \{P_1, P_2\}$  e, por absurdo, que existe uma única curva  $\gamma \subset \pi(I)$  tal que  $\partial\gamma = \{P_1, P_2\}$ .

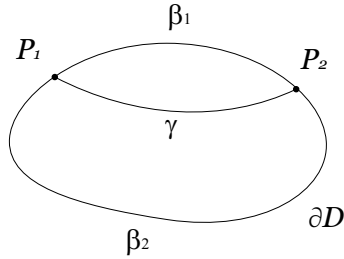


Figura 2.5: Curva  $\gamma$

Isso é um absurdo pois, em  $\partial D - C$ , temos  $u_1 < u_2$  e, se existe uma única curva  $\gamma \subset \pi(I)$  ligando  $P_1$  a  $P_2$ , teríamos

$$u_1 < u_2 \text{ em } \beta_1, \quad u_1 > u_2 \text{ em } \beta_2,$$

onde  $\beta_1$  e  $\beta_2$  são arcos complementares de  $\partial D$  limitados por  $P_1, P_2$ .

Com um argumento análogo garantimos que, para cada  $P_i \in C$ , existe uma quantidade par de curvas contidas em  $\pi(I)$  com ponto final em  $P_i$ . E, conseqüentemente a afirmação é verdadeira.

Então, seja  $U \subset (\text{int } D) - \pi(I)$  componente conexa tal que  $\partial U \subset \overline{\pi(I)}$ .

Sejam  $D_i = \text{graf}(u_{i|U})$ ,  $i = 1, 2$ , discos contidos em  $\Sigma_1$  e  $\Sigma_2$ , respectivamente.

Como  $\Sigma_1$  e  $\Sigma_2$  são transversais ao longo de  $I$ , podemos supor que  $u_{1|U} > u_{2|U}$ .

Sejam  $\nu_1, \nu_2$  vetores conormais, unitários interiores a  $\partial D_1$  e  $\partial D_2$ , respectivamente.

É possível que existam segmentos verticais em  $\partial D_1$  e  $\partial D_2$ . Ao longo desses segmentos temos  $\nu_1$  e  $\nu_2$  horizontais e, conseqüentemente,

$$\left\langle \nu_1, \frac{\partial}{\partial t} \right\rangle = 0 = \left\langle \nu_2, \frac{\partial}{\partial t} \right\rangle .$$

Nos arcos de  $\partial D_1$  e  $\partial D_2$  contidos em  $I$ , a transversalidade de  $u_1$  e  $u_2$  e o fato de  $u_{1|U} > u_{2|U}$  dizem que, nestes arcos, vale

$$\left\langle \nu_1, \frac{\partial}{\partial t} \right\rangle > \left\langle \nu_2, \frac{\partial}{\partial t} \right\rangle .$$

Assim, temos

$$\int_{\partial D_1} \left\langle \nu_1, \frac{\partial}{\partial t} \right\rangle > \int_{\partial D_2} \left\langle \nu_2, \frac{\partial}{\partial t} \right\rangle . \quad (2.1)$$

Por outro lado, considerando  $M$  uma variedade Riemanniana compacta, com bordo  $\partial M$  e um campo  $X$  em  $M$ , o Teorema de Stokes diz que

$$\int_M \text{div} X \, dM = \int_{\partial M} \langle X, \nu \rangle \, dr ,$$

onde  $dM$  e  $dr$  são os elementos de volume de  $M$  e  $\partial M$ , respectivamente, e  $\nu$  é o campo de vetor unitário normal exterior a  $\partial M$ .

Então, aplicando o Teorema de Stokes aos discos mínimos  $D_1$  e  $D_2$  e aos campos  $\nabla_{D_i} h$ ,  $i = 1, 2$ , temos que

$$\begin{aligned} \int_{D_1} \Delta h &= \int_{\partial D_1} \left\langle \tilde{\nu}_1, \frac{\partial}{\partial t} \right\rangle \, e \\ \int_{D_2} \Delta h &= \int_{\partial D_2} \left\langle \tilde{\nu}_2, \frac{\partial}{\partial t} \right\rangle \, , \end{aligned}$$

onde  $\tilde{\nu}_1, \tilde{\nu}_2$  são os conormais exteriores ao bordo dos discos  $D_1$  e  $D_2$ , respectivamente e  $\nabla_{D_i} h = \frac{\partial}{\partial t} - \langle \frac{\partial}{\partial t}, N_i \rangle N_i$ ,  $N_i$  normal unitário a  $D_i$ ,  $i = 1, 2$ .

Além disso, a aplicação altura  $h : M \times \mathbb{R} \rightarrow \mathbb{R}$  é harmônica em uma superfície mínima  $\Sigma \subset M \times \mathbb{R}$  (Ver Lemma 3.1, em [Ro]), ou seja,  $\Delta_{D_i} h = 0$ ,  $i = 1, 2$ . E, como  $\tilde{\nu}_i = -\nu_i$ ,  $i = 1, 2$ , temos que

$$0 = \int_{\partial D_i} \left\langle \tilde{\nu}_i, \frac{\partial}{\partial t} \right\rangle = - \int_{\partial D_i} \left\langle \nu_i, \frac{\partial}{\partial t} \right\rangle.$$

Então,

$$\int_{\partial D_1} \left\langle \nu_1, \frac{\partial}{\partial t} \right\rangle = 0 = \int_{\partial D_2} \left\langle \nu_2, \frac{\partial}{\partial t} \right\rangle. \quad (2.2)$$

As relações (2.1) e (2.2) geram uma contradição.

Portanto, temos  $u_1 \leq u_2$  em  $\text{int } D$ . ■

Concluimos assim a demonstração do Teorema de Rado em  $M^2 \times \mathbb{R}$ . ■

# Capítulo 3

## Superfície tipo Scherk em $M^2 \times \mathbb{R}$

Em 1835, Scherk apresentou um exemplo de gráfico mínimo em  $\mathbb{R}^3$  definido num triângulo geodésico contido em  $\mathbb{R}^2$ , que assume os valores  $+\infty$  em um dos lados do triângulo e zero sobre os outros dois lados.

Neste capítulo, estabelecemos condições para que exista uma superfície tipo Scherk na variedade  $M^2 \times \mathbb{R}$ . Ou seja, construímos uma superfície semelhante a apresentada por Scherk, agora com o domínio de definição da aplicação cujo gráfico é mínimo sendo um triângulo geodésico em uma superfície Riemanniana qualquer.

Assim, sejam  $M$  uma variedade Riemanniana completa,  $\dim M = 2$ , e  $\Delta$  um triângulo geodésico mergulhado em  $M(0) := M \times \{0\} \subset M \times \mathbb{R}$ , com lados  $a$ ,  $b$ ,  $c$ , vértices  $A$ ,  $B$ ,  $C$  e ângulos internos menores que  $\pi$ . Suponhamos que  $\Delta \subset\subset D$ , onde  $D \subset M \times \{0\}$  é um disco compacto, mergulhado e geodesicamente convexo.

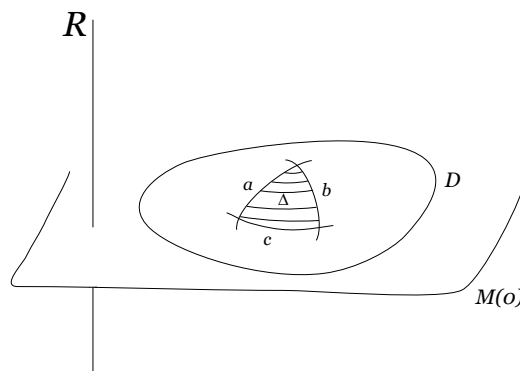


Figura 3.1: Triângulo geodésico  $\Delta$

Seja  $T \in \mathbb{R}$ ,  $T > 0$ , fixo.

Consideremos o polígono geodésico  $\Gamma(T)$  contido em  $\Delta \times \mathbb{R}$ , formado pelos lados  $b$  e  $c$  do triângulo  $\Delta$ , pela curva  $a(T)$ , que é o lado  $a$  elevado a uma altura  $T$ , e pelos segmentos verticais ligando os pontos extremos de  $a$  e  $a(T)$ .  $\Gamma(T)$  é gráfico de Nitsche sobre  $\partial\Delta$ .

O domínio  $\Delta$  e a curva  $\Gamma(T) \subset \partial(\Delta \times \mathbb{R})$  satisfazem as hipóteses do Teorema de de Rado em  $M^2 \times \mathbb{R}$  (Teorema 2.1, Capítulo 2). Portanto, existe disco  $\Sigma(T) \subset \Delta \times \mathbb{R}$  solução para o problema de Plateau com bordo  $\Gamma(T)$  e tal  $\Sigma(T)$  é gráfico sobre  $\text{int } \Delta$ .

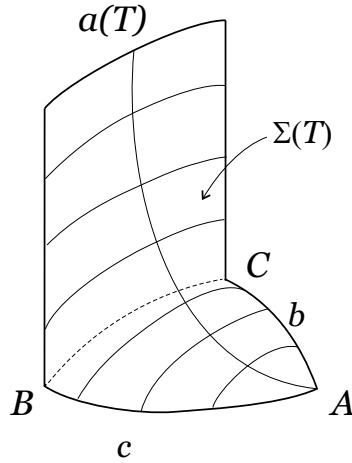


Figura 3.2: Gráfico Mínimo  $\Sigma(T)$

Assim, existe uma função  $u_T$  definida em  $\Delta - \{B, C\}$  tal que  $\Sigma(T)$  é o gráfico de  $u_T$ .

Além disso, a função  $u_T$  é contínua em  $\Delta - \{B, C\}$  e

$$u_T(A) = 0, \quad u_T|_b = u_T|_c = 0, \quad u_T|_a = T,$$

onde  $a$ ,  $b$ ,  $c$  são lados abertos.

Temos então, o seguinte resultado:

**Teorema 3.1.** Quando  $T \rightarrow \infty$ , a seqüência  $\{u_T\}$  converge para uma aplicação  $u$ , de gráfico mínimo, definida em  $\Delta - \bar{a}$ , que satisfaz

$$u|_b = u|_c = 0 \quad e \quad \lim_{x \rightarrow \text{int}(a)} u(x) = \infty.$$

Além disso,  $|\nabla u(x)| \rightarrow \infty$  quando  $x$  se aproxima do lado  $a$ , onde  $\nabla$  é o gradiente em  $M^2 \times \mathbb{R}$ .

O gráfico da aplicação  $u$  é chamado *Superfície de Scherk* em  $M^2 \times \mathbb{R}$ .

**Exemplo.** Considerando  $M^2 = \mathbb{S}^2$  a esfera redonda, o Teorema acima garante que, dado  $\Delta$  um triângulo geodésico contido em um hemisfério aberto de  $\mathbb{S}^2$ , existe uma aplicação  $u : \Delta \rightarrow \mathbb{R}$  cujo gráfico é uma superfície de Scherk em  $\mathbb{S}^2 \times \mathbb{R}$ .

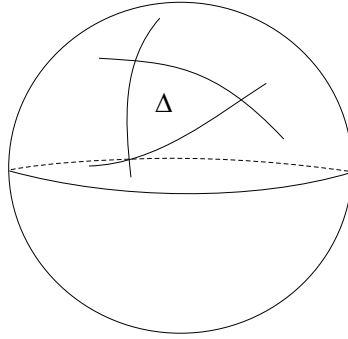


Figura 3.3: Triângulo geodésico em  $\mathbb{S}^2$

*Prova do Teorema.* Dados  $T_1, T_2$  números reais positivos, com  $T_1 \geq T_2$ , consideremos a aplicação  $f : \Delta - \{B, C\} \rightarrow \mathbb{R}$ , tal que  $f(x) = u_{T_1}(x) - u_{T_2}(x)$ .

Como  $f|_{\partial\Delta - \{B, C\}} \geq 0$ , o Princípio do Máximo Geral (Teorema 2.2) implica que  $f \geq 0$  em  $\Delta - \{B, C\}$ . Assim, a seqüência  $\{u_T\}$  é não-decrescente e não-negativa em  $\Delta - \{B, C\}$ .

A partir disso, concluímos que para mostrarmos a existência da aplicação  $u = \lim_{T \rightarrow \infty} u_T$ , é suficiente demonstrar que a seqüência  $\{u_T\}$  é uniformemente limitada em todo subconjunto compacto  $K \subset \Delta - a$ .

Mostraremos isso construindo uma superfície mínima contida em  $\Delta \times \mathbb{R}$  que está acima do gráfico da aplicação  $u_T$ , para todo  $T$ . Dizemos que tal superfície mínima é uma barreira para a seqüência  $\{u_T\}$ .

Usaremos para isto o

*Cr terio de Douglas* ([Mo], Theorem 3.1)

Sejam  $C_1, C_2$  curvas de Jordan em uma variedade Riemanniana  $M$ . Consideremos os conjuntos

$E = \{\mathcal{D} = D_1 \cup D_2 \subset M ; D_1, D_2 \text{ discos e } \partial D_1 = C_1, \partial D_2 = C_2\}$  e

$F = \{A \subset M \text{ superf cie conexa; g nero } A = 1 \text{ e } \partial A = C_1 \cup C_2\}$ .

Sejam

$$m = \inf_{\mathcal{D} \in E} \|\mathcal{D}\| \quad \text{e} \quad n = \inf_{A \in F} \|A\|,$$

onde  $\|\mathcal{D}\| = \text{ rea } \mathcal{D}$  e  $\|A\| = \text{ rea } A$ .

Se  $n < m$  ent o, existe uma superf cie m nima  $S$  com bordo  $C_1 \cup C_2$ ,  $\text{ rea}(S) = n$  e g nero  $S = 1$ .

Vamos agora fixar algumas notac es.

Seja  $\tilde{a}$  segmento geod sico de  $M(0)$ , que cont m o lado  $a$  do tri ngulo  $\Delta$  em seu interior com  $\|\tilde{a}\| = \|a\| + 2 \cdot \delta$ , onde  $\delta > 0$    pequeno de modo que  $\tilde{a} \subset D$  e  $\|\tilde{a}\|$  denota o comprimento de  $\tilde{a}$ .

Denotemos por  $\tilde{B}, \tilde{C}$  os pontos do bordo de  $\tilde{a}$ .

Sejam  $\tilde{b}, \tilde{c}$  as geod sicas minimizantes de  $D$  ligando os pontos  $\tilde{B}$  e  $\tilde{C}$  ao ponto  $A$ , respectivamente.

Denotaremos por  $\tilde{\Delta}$  o tri ngulo de lados  $\tilde{a}, \tilde{b}, \tilde{c}$ .

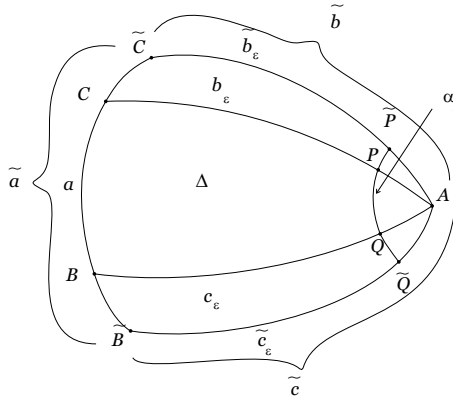


Figura 3.4: Tri ngulo  $\tilde{\Delta}$

Consideremos os pontos  $P \in b$ ,  $\tilde{P} \in \tilde{b}$ ,  $Q \in c$ ,  $\tilde{Q} \in \tilde{c}$  a uma distância  $\epsilon > 0$  do ponto  $A$ ,  $\epsilon$  pequeno, e a geodésica  $\alpha_\epsilon$  ligando  $\tilde{P}$  a  $\tilde{Q}$ .

Usaremos ainda as seguintes notações:  $b_\epsilon$  para o segmento de  $b$  entre  $C$  e  $P$ ,  $c_\epsilon$  para o segmento de  $c$  entre  $B$  e  $Q$ ,  $\tilde{b}_\epsilon$  para o segmento de  $\tilde{b}$  entre  $\tilde{C}$  e  $\tilde{P}$  e finalmente,  $\tilde{c}_\epsilon$  para o segmento de  $\tilde{c}$  entre  $\tilde{B}$  e  $\tilde{Q}$ .

Temos o quadrilátero  $\tilde{B}\tilde{C}\tilde{P}\tilde{Q}$ .

Sejam  $\tau > 0$  fixo e  $R(\tilde{b}_\epsilon, \tau)$ ,  $R(\tilde{c}_\epsilon, \tau)$  as curvas que limitam os discos  $\tilde{b}_\epsilon \times [0, \tau]$  e  $\tilde{c}_\epsilon \times [0, \tau]$ , respectivamente.

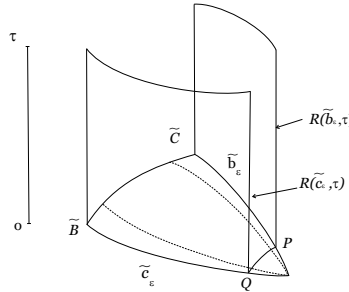


Figura 3.5: Curvas  $R(\tilde{b}_\epsilon, \tau)$  e  $R(\tilde{c}_\epsilon, \tau)$

Usaremos o *Cr terio de Douglas* para garantir a exist ncia de uma superf cie m nima de menor  rea com bordo igual a  $R(\tilde{b}_\epsilon, \tau) \cup R(\tilde{c}_\epsilon, \tau)$  e g nero 1. Observemos que poderemos ter como solu  o um anel ou uma faixa de M bius.

Inicialmente, mostraremos que o  nfimo das  reas dos discos  $D_1$  e  $D_2$  com bordo  $R(\tilde{b}_\epsilon, \tau)$  e  $R(\tilde{c}_\epsilon, \tau)$    atingido por  $\tilde{b}_\epsilon \times [0, \tau]$  e  $\tilde{c}_\epsilon \times [0, \tau]$ , respectivamente.

Mostraremos isso para  $R(\tilde{b}_\epsilon, \tau)$ , isto  , provaremos que se  $\mathcal{D}$    um disco m nimo com bordo  $R(\tilde{b}_\epsilon, \tau)$ , onde  $\tilde{b}_\epsilon$    geod sica minimizante, ent o,  $\text{ rea}(\mathcal{D}) \geq \|\tilde{b}_\epsilon\| \cdot \tau$ , onde  $\|\tilde{b}_\epsilon\|$  denota o comprimento do arco  $\tilde{b}_\epsilon$ .

De fato, pela *f rmula da co- rea*, temos que

$$\text{area}(\mathcal{D}) = \int_{\min_{x \in \mathcal{D}} h(x)}^{\max_{x \in \mathcal{D}} h(x)} \left( \int_{h^{-1}(t)} \frac{ds_t}{|\nabla_{\mathcal{D}} h|} \right) dt,$$

onde  $h$    a fun  o altura em  $M \times \mathbb{R}$ ,  $ds_t$    a forma de volume de  $h^{-1}(t)$  e  $|\nabla_{\mathcal{D}} h|$    a norma do vetor gradiente de  $h$  em  $\mathcal{D}$ .

A fun  o altura  $h$  restrita a uma superf cie m nima de  $M \times \mathbb{R}$    harm nica (ver Lemma 3.1, em [Ro]). Logo, os pontos de m ximo e m nimo de  $h$  s o atingidos no bordo de  $\mathcal{D}$  e portanto,

$$area \mathcal{D} = \int_0^\tau \left( \int_{h^{-1}(t)} \frac{ds_t}{|\nabla_{h^{-1}(t)} h|} \right) dt.$$

Agora,  $\nabla_{h^{-1}(t)} h = \nabla_{M^2 \times \mathbb{R}} h - \langle \nabla_{M^2 \times \mathbb{R}} h, N \rangle N$ , onde  $N$  é o vetor normal unitário a  $h^{-1}(t)$ . Então, como  $\nabla_{h^{-1}(t)} h = \frac{\partial}{\partial t}$ , temos

$$\nabla_{h^{-1}(t)} h = \frac{\partial}{\partial t} - \left\langle \frac{\partial}{\partial t}, N \right\rangle N,$$

e daí,  $|\nabla_{h^{-1}(t)} h| \leq 1$ .

Então,

$$\begin{aligned} area \mathcal{D} &\geq \int_0^\tau \left( \int_{h^{-1}(t)} ds_t \right) dt \\ &= \int_0^\tau \|h^{-1}(t)\| dt \\ &\geq \int_0^\tau \|\tilde{b}_\epsilon(t)\| dt = \|\tilde{b}_\epsilon\| \times \tau. \end{aligned}$$

Na última desigualdade, usamos que  $\tilde{b}_\epsilon$  é a geodésica minimizante ligando  $\tilde{C}$  a  $\tilde{P}$ .

Por outro lado, consideremos o anel  $\mathcal{A}$  suave por partes, formado por  $\alpha_\epsilon \times [0, \tau]$ ,  $\tilde{\alpha} \times [0, \tau]$  e pelos quadriláteros  $\tilde{B}\tilde{C}\tilde{P}\tilde{Q}$  e  $\tilde{B}\tilde{C}\tilde{P}\tilde{Q}(\tau)$ ,  $\tau \in \mathbb{R}$ .

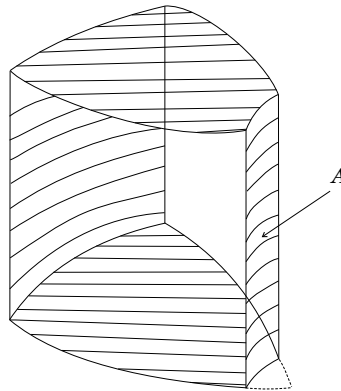


Figura 3.6: Anel  $\mathcal{A}$

Para  $\tau$  suficientemente grande, afirmamos que o anel  $\mathcal{A}$  tem área menor que a soma das áreas dos discos  $\tilde{b}_\epsilon \times [0, \tau]$  e  $\tilde{c}_\epsilon \times [0, \tau]$ .

De fato, a área do anel  $\mathcal{A}$  é igual a

$$\|\alpha_\epsilon\| \cdot \tau + [\|a\| + 2 \cdot \delta] \cdot \tau + 2 \cdot q ,$$

onde  $q = \text{área}(\tilde{B}\tilde{C}\tilde{P}\tilde{Q})$ , e a soma da área dos discos  $\tilde{b}_\epsilon \times [0, \tau]$  e  $\tilde{c}_\epsilon \times [0, \tau]$  é igual a

$$\left( \|\tilde{c}\| + \|\tilde{b}\| - 2 \cdot \epsilon \right) \cdot \tau .$$

Temos a seguinte equivalência:

$$\begin{aligned} \|\alpha_\epsilon\| \cdot \tau + [\|a\| + 2 \cdot \delta] \cdot \tau + 2 \cdot q &< \left( \|\tilde{c}\| + \|\tilde{b}\| - 2 \cdot \epsilon \right) \cdot \tau \\ \iff \left( \|\tilde{c}\| + \|\tilde{b}\| - 2 \cdot \epsilon - \|\alpha_\epsilon\| - \|a\| - 2 \cdot \delta \right) \cdot \tau &> 2 \cdot q . \end{aligned}$$

Assim, quando  $\epsilon$  e  $\delta$  são suficientemente pequenos (e conseqüentemente  $\|\alpha_\epsilon\|$  também é pequeno) e  $\tau$  é suficientemente grande, basta provar que

$$\|\tilde{c}\| + \|\tilde{b}\| - \|a\| > 0 ,$$

pois  $q$  é um número que não depende de  $\tau$ .

Mas, a variedade  $M$ , munida da função distância, é um espaço métrico, então, vale a desigualdade triangular. Assim,

$$\begin{aligned} \|a\| < \|\tilde{a}\| &= \text{dist}(\tilde{B}, \tilde{C}) \\ &\leq \text{dist}(\tilde{B}, A) + \text{dist}(A, \tilde{C}) \\ &= \|\tilde{c}\| + \|\tilde{b}\| . \end{aligned}$$

Logo, a área do anel  $\mathcal{A}$  é menor que a soma das áreas dos discos  $\tilde{b}_\epsilon \times [0, \tau]$ ,  $\tilde{c}_\epsilon \times [0, \tau]$ .

Portanto, pelo *Critério de Douglas*, existe uma superfície mínima  $A(\delta, \tau)$  de área mínima, com bordo  $R(\tilde{b}_\epsilon, \tau) \cup R(\tilde{c}_\epsilon, \tau)$ .

Provaremos agora, que a superfície mínima  $A(\delta, \tau)$  é um anel.

Como o espaço  $\Delta \times \mathbb{R}$  é contrátil, a superfície  $A(\delta, \tau)$  pertence a mesma classe de homologia (mod 2) do anel  $\mathcal{A}$  formado por  $(\alpha_\epsilon \times [0, \tau]) \cup (\tilde{a} \times [0, \tau]) \cup \tilde{B}\tilde{C}\tilde{P}\tilde{Q} \cup \tilde{B}\tilde{C}\tilde{P}\tilde{Q}(\tau)$ . Ou seja, existe uma variedade  $V \subset \Delta \times \mathbb{R}$  tal que  $\dim V = 3$  e  $\partial V = A(\delta, \tau) \cup \mathcal{A}$ .

Suponhamos, por absurdo, que  $A(\delta, \tau)$  é não-orientável; isto é, suponhamos que existe uma curva fechada  $\gamma \subset \Delta \times \mathbb{R}$  tal que  $\gamma$  intersecta  $A(\delta, \tau)$  em um único ponto  $p$ .

Então, existem pontos  $x, y \in \gamma$ , perto de  $p$ , tais que  $x \in V$  e  $y \notin V$ .

Façamos  $\gamma : [0, 1] \rightarrow \Delta \times \mathbb{R}$  com  $\gamma(0) = x$ ,  $\gamma(t_1) = p$ ,  $\gamma(t_2) = y$  e  $\gamma(1) = x$ , onde  $0 < t_1 < t_2 < 1$ .

Como  $\gamma$  é uma curva fechada e toca em  $A(\delta, \tau)$  em um só ponto, a única possibilidade de  $\gamma$  voltar a  $V$ , após passar pelo ponto  $y$ , e assim termos  $\gamma(1) = x$ , é  $\gamma$  tocar  $\partial V$  em  $\mathcal{A}$ .

Mas,  $\mathcal{A}$  é um anel e, portanto, é orientável. Logo, a interseção entre  $\gamma$  e  $\mathcal{A}$  é um número par de pontos. Então,  $\gamma$  toca novamente  $\mathcal{A}$  e, nesse ponto,  $\gamma$  sai de  $V$ .

Podemos repetir este argumento e concluir que, se a curva  $\gamma$  volta para  $V$  através de  $\mathcal{A} \subset \partial V$ ,  $\gamma$  não será fechada. Construímos uma contradição. Então, de fato,  $A(\delta, \tau)$  é uma superfície orientável.

Afirmamos que o anel  $A(\delta, \tau)$  está acima do gráfico de  $u_T$ , para todo  $T > 0$ , ou seja, se uma reta vertical em  $\text{int}(\Delta \times \mathbb{R})$  encontrar as duas superfícies então, nesta reta, os pontos de  $A(\delta, \tau)$  estão acima dos pontos do gráfico de  $u_T$ .

Para vermos isso, transladamos verticalmente o anel  $A(\delta, \tau)$  até a altura  $T$  e, a seguir, o abaixamos continuamente. O Princípio do Máximo Clássico garante que não existem pontos de interseção no interior destas duas superfícies até  $A(\delta, \tau)$  voltar para a sua posição original. Além disso, como  $\delta > 0$ , o bordo de  $A(\delta, \tau)$  não toca o gráfico de  $u_T$ .

Fazendo  $\delta \rightarrow 0$ , o mesmo argumento mostra que o anel  $A(\tau) := A(0, \tau)$  também está acima de  $\Sigma(T)$ . O Princípio do Máximo no bordo garante que, em cada ponto interior das geodésicas verticais  $B \times [0, \tau]$  e  $C \times [0, \tau]$  os planos tangentes a  $A(\tau)$  e a  $\Sigma(T)$  não são paralelos e, como  $A(\tau)$  está acima de  $\Sigma(T)$ , podemos afirmar que, em cada um destes pontos, o ângulo formado pelo plano tangente ao anel  $A(\tau)$  e os planos geodésicos de  $M^2 \times \mathbb{R}$  que contêm  $\tilde{b}_\epsilon \times [0, \tau]$  e  $\tilde{c}_\epsilon \times [0, \tau]$  é maior que o ângulo formado por estes últimos planos e o plano tangente ao gráfico  $\Sigma(T)$ .

Portanto, o anel  $A(\tau)$  é uma barreira para a seqüência  $\{u_T\}$ . Mas, como a altura de  $A(\tau)$  é finita, nem todos os compactos  $K \subset \Delta - a$  estão contidos na projeção vertical de  $A(\tau)$  em  $\Delta$ . Podemos afirmar, neste momento, que a aplicação  $u = \lim_{T \rightarrow \infty} u_T$  existe apenas sobre os compactos  $K \subset \pi(A(\tau)) \subset \Delta$ . Construiremos então uma seqüência de barreiras para a seqüência  $\{u_T\}$  de altura  $k$  e mostraremos que, quando  $k \rightarrow \infty$ , os compactos contidos na projeção vertical destas superfícies exaurem  $\Delta - a$ .

Seja  $\Omega$  a componente conexa, não-compacta contida em  $\Delta \times \mathbb{R} - \text{int}(A(\tau))$ .

Observemos que  $\partial\Omega = \partial(\Delta \times \mathbb{R}) \cup A(\tau)$  é boa-barreira para resolver o problema

de Plateau no sentido dado por Meeks e Yau (ver p. 17). De fato,  $\partial\Omega$  é mínimo onde é suave e, onde  $\partial\Omega$  não é suave, o ângulo entre as partes suaves é menor ou igual a  $\pi$ .

Logo, dado  $k \in \mathbb{R}$ ,  $k > \tau$ , existe uma solução para o problema de Plateau com bordo  $R(b_\epsilon, k) \cup R(c_\epsilon, k)$ . Ou seja, existe uma superfície  $A(k) \subset \Omega \subset \Delta \times \mathbb{R}$  mínima, conexa que minimiza área entre todas as soluções com este bordo.

Se trasladarmos verticalmente o anel  $A(\tau)$  a uma altura  $\tau - k$ , o Princípio do Máximo Clássico garante que  $A(\tau)$  e a superfície  $A(k)$  não se tocam nos pontos interiores e, nos pontos do bordo, os seus planos tangentes não são paralelos (e o plano tangente a  $A(k)$  é “exterior” ao plano tangente a  $A(\tau)$ ).

Como  $\tau$  é fixo, isso garante que, quando  $k \rightarrow \infty$ , os planos tangentes a  $A(k)$  ao longo dos segmentos verticais do bordo têm inclinação controlada pela inclinação dos planos tangentes ao anel  $A(\tau)$ .

Afirmamos que, a família de superfícies  $\{A(k)\}_{k>\tau}$  tem limitação de área local uniforme.

Para provarmos isso consideremos uma bola de raio  $r$   $B(r)$  contida em  $\text{int}(\Delta \times \mathbb{R})$ , de modo que  $\partial B$  é transversal a  $A(k)$  e portanto, temos que  $\partial B \cap A(k)$  é um 1-ciclo em  $\partial B$ , isto é,  $\partial B \cap A(k)$  é uma coleção de curvas de Jordan  $\Gamma_1, \dots, \Gamma_n$  suaves, disjuntas, que limita (mod 2) uma 2-cadeia  $S$  em  $\partial B$  de área no máximo igual a área de  $\partial B$ .

Como  $A(k)$  minimiza área na  $Z_2$ -classe de homologia com bordo  $R(b_\epsilon, k) \cup R(c_\epsilon, k)$ , a superfície conexa construída substituindo as componentes de  $A(k)$  contidas no interior de  $B$  por  $S \subset \partial B$ , tem bordo  $R(b_\epsilon, k) \cup R(c_\epsilon, k)$  e área maior ou igual a área de  $A(k)$ .

Concluimos então que,  $A(k) \cap B$  tem área limitada pela área do  $\partial B$ , para todo  $k > \tau$ . E, como *área*( $\partial B$ ) independe de  $k$ , a afirmação é verdadeira.

Consideremos agora a seguinte sequência:

*para cada inteiro  $n > \tau$ , seja  $N(n)$  a superfície  $A(2n)$  trasladado para baixo uma distância  $n$ .*

Provaremos que existe uma subsequência de  $\{N(n)\}_{n>\tau}$  convergindo para uma superfície mínima  $N(\infty)$  em  $\Delta \times \mathbb{R}$ .

Usaremos o seguinte resultado que afirma que uma superfície mínima  $S$  estável, imersa em uma 3- variedade Riemanniana  $M$ , possui segunda forma fundamental limitada em um ponto  $P \in S$ , com limitação em termos da geometria local de  $M$  perto de  $P$  e da distância entre  $P$  e  $\partial S$ .

**Teorema ([Sc], Teorema 3).** *Seja  $S$  superfície mínima estável em  $M^3$ . Dado  $r \in (0, 1)$  e  $P \in S$  tal que  $B^S(P, r)$  tem fecho compacto contido em  $S$  então, existe constante  $c_1$  dependendo apenas da curvatura de  $M$  em  $B^M(P, r)$  tal que*

$$|A^S|^2(P) \leq c_1 \cdot r^{-2}.$$

*Além disso, se  $S \cap B^M(P, r)$  tem fecho compacto contido em  $S$  então, existe constante  $\epsilon > 0$ ,  $\epsilon$  dependendo da curvatura de  $M$  em  $B^M(P, r)$  e do raio de injetividade de  $S$  em  $P$ , tal que  $S \cap B^M(P, \epsilon \cdot r)$  é a união de discos mergulhados tendo segunda forma fundamental com quadrado da norma limitado por  $c_2 \cdot r^{-2}$ , onde  $c_2$  é constante que depende da curvatura de  $M$  em  $P$ .*

Então, seja  $B(p, r) \subset \Delta \times \mathbb{R}$  uma bola de raio  $r$  e centro  $p$ , onde  $r < \text{dist}(p, \partial(\Delta \times \mathbb{R}))$ . O Teorema acima garante que existe um número  $\delta > 0$  tal que, para todo ponto  $z \in B(p, \frac{r}{2}) \cap N(n)$  uma vizinhança de  $z$  dentro de  $N(n)$  é um gráfico  $F_n^z$  de gradiente limitado, sobre o disco  $D_n(z, \delta) \subset T_z(N(n))$ , onde o raio  $\delta$  é o mesmo para todo tal  $z$ . É claro que cada um destes gráficos tem a área limitada inferiormente por uma constante  $c = c(\delta)$  ( $c = \text{área}(D_n(z, \delta))$ ).

Pela estimativa de área local uniforme para  $N(n)$  estabelecida anteriormente, o número de gráficos disjuntos  $F_n^z$  tem limitação superior independente de  $n$  e então, garantimos que o número de componentes de  $N(n)$  em  $B(p, \frac{r}{2})$  é uniformemente limitado.

Suponhamos inicialmente que, para cada  $n$ ,  $N(n) \cap B(p, \frac{r}{2})$  contém uma única componente.

Escolhemos subsequência  $z_n \in N(n) \cap B(p, \frac{r}{2})$  tal que  $z_n \rightarrow z$  e os planos tangentes  $T_{z_n}(N(n))$  convergem para um plano  $P$ . Então, para  $n$  suficientemente grande, os gráficos  $F_n$  desta subsequência serão gráficos sobre disco  $D \subset P$ , de raio  $\frac{\delta}{2}$ , com centro em  $z$ .

Por resultados de convergência para gráficos mínimos, existe subsequência  $F_{n_i}$  de  $F_n$  convergindo para gráfico  $F^\infty$  sobre  $D(z, \frac{\delta}{2}) \subset P$ .

Sejam  $q \in \partial F^\infty$ ,  $T_q F^\infty$  o plano tangente a  $F^\infty$  em  $q$  e  $z_{n_i} \in F_{n_i}$  seqüência de pontos tais que  $z_{n_i} \rightarrow q$ .

Para  $n_i$  suficientemente grande, os gráficos  $F_{n_i}$  são gráficos sobre o disco  $D(q, \frac{\delta}{2}) \subset T_q F^\infty$  e portanto, existe subsequência de  $F_{n_i}$  que converge para gráfico mínimo  $F^\infty(q)$  sobre  $D(q, \frac{\delta}{2})$ . Por unicidade do limite,  $F^\infty = F^\infty(q)$  onde eles se intersectam.

Assim,  $F^\infty$  pode ser continuado analiticamente para obtermos uma superfície mínima conexa  $N^B(\infty)$  em  $B(p, \frac{r}{2})$ , com  $\partial N^B(\infty) \subset \partial B(p, \frac{r}{2})$ , e  $N^B(\infty)$  é o limite da seqüência  $N(n) \cap B(p, \frac{r}{2})$ .

Caso  $N(n) \cap B(p, \frac{r}{2})$  contenha mais de uma componente, consideramos uma subsequência de  $N(n)$  que possui um mesmo número  $s$  de componentes em  $B(p, \frac{r}{2})$ .

Aplicando o argumento anterior para a primeira componente, obtemos uma subsequência  $N_1(n_i)$  que converge para uma superfície mínima  $F_1^\infty$ , com  $\partial F_1^\infty \subset \partial B(p, \frac{r}{2})$ . Procedendo da mesma forma na segunda componente de  $N(n) \cap B(p, \frac{r}{2})$ , agora para a subsequência  $N_1(n_i)$  da primeira componente que converge para  $F_1^\infty$ , encontramos nova subsequência  $N_2(n_j)$  de  $N_1(n_i)$  convergindo para superfície mínima  $F_2^\infty$  em  $B(p, \frac{r}{2})$ .

Repetimos esse processo em todas as componentes e destacamos a subsequência diagonal. Tal subsequência de  $N(n) \cap B(p, \frac{r}{2})$  converge para a superfície mínima  $N_\infty^B = F_1^\infty \cup F_2^\infty \cup \dots \cup F_s^\infty$ , e assim, provamos que existe subsequência de  $N(n)$  convergindo para superfície mínima  $N_\infty^B$  em  $B(p, \frac{r}{2})$ .

Agora, seja  $\tilde{B}(r)$  uma bola de raio  $r$ , tal que  $\tilde{B}(r) \cap \partial(\Delta \times \mathbb{R}) \neq \emptyset$ .

Vimos anteriormente que o plano tangente em um ponto do bordo da superfície  $A(k)$  tem inclinação controlada pela inclinação do plano tangente, no mesmo ponto, ao anel  $A(\tau)$ ,  $k > \tau$ , cuja existência é garantida pelo *Critério de Douglas*. Em particular, isso implica que, perto do bordo, as superfícies  $A(k)$  têm estimativas de gradiente uniforme. Consequentemente, em  $\tilde{B}(r)$ , para  $r$  suficientemente pequeno, podemos aplicar diretamente os resultados de convergência para gráficos mínimos e garantir que existe subsequência de  $N(n)$  convergindo para uma superfície mínima  $N_\infty^{\tilde{B}} \subset \tilde{B}(r)$ .

Seja  $\{B_i(p_i, r)\}_{i \in \mathbb{N}}$  um recobrimento de  $\Delta \times \mathbb{R}$  tal que  $\{B_i(p_i, \frac{r}{2})\}_{i \in \mathbb{N}}$  ainda é recobrimento de  $\Delta \times \mathbb{R}$  e  $B_i \cap B_{i+1} \neq \emptyset$ ,  $\forall i \in \mathbb{N}$ , onde  $B_i := B_i(p_i, \frac{r}{2})$ .

Começamos pela bola  $B_1$  e consideramos a subsequência de  $N(n) \cap B_1$  convergindo para a superfície mínima  $N_\infty^1 \subset B_1$ ,  $\partial N_\infty^1 \subset \partial B_1$ .

Fazendo o mesmo argumento em  $B_2$ , agora para a subsequência de  $N(n)$  que converge em  $B_1$ , construímos subsequência de  $N(n) \cap B_2$  convergindo para  $N_\infty^2 \subset B_2$  e  $N_\infty^2 = N_\infty^1$  dentro de  $B_1 \cap B_2$ .

Seguindo desta maneira, em todas as bolas do recobrimento  $\{B_i(p_i, \frac{r}{2})\}$  de  $\Delta \times \mathbb{R}$ , e depois tomando subsequência diagonal, encontramos uma subsequência de  $\{N(n)\}_{n > \tau}$  convergindo para superfície mínima  $N(\infty)$  em  $\Delta \times \mathbb{R}$ , como queríamos.

Novamente pelo Princípio do Máximo Clássico, o anel  $A(\tau)$  pode ser transladado de  $+\infty$  até  $-\infty$  sem tocar a superfície  $N(\infty)$  em pontos interiores. Então,  $N(\infty)$  possui componente conexa  $N$  cujo bordo é a união das geodésicas  $B \times \mathbb{R}$ ,  $C \times \mathbb{R}$ .

Provaremos que  $N = \bar{a} \times \mathbb{R}$  e assim, mostraremos que os compactos contidos na projeção vertical de  $N(\infty)$  exaurem  $\Delta - a$ .

Inicialmente, parametrizamos os lados  $\tilde{b}$  e  $\tilde{c}$  do triângulo  $\tilde{\Delta}$  por um mesmo parâmetro  $t$ ,  $t \in [0, 1]$  de modo que,  $\tilde{b}(0) = \tilde{C}$ ,  $\tilde{c}(0) = \tilde{B}$  e  $\tilde{b}(1) = \tilde{c}(1) = A$ .

Consideremos o conjunto de curvas  $\{C_t\}_{0 \leq t \leq 1}$ , onde  $C_t = \tilde{b}[0, t] \cup \tilde{c}[0, t] \cup \tilde{\gamma}_t$  e  $\tilde{\gamma}_t : [0, 1] \rightarrow \tilde{\Delta}$  é a única geodésica minimizante de  $\tilde{\Delta}$  ligando os pontos  $\tilde{b}(t)$  e  $\tilde{c}(t)$ .

O conjunto  $\{C_t\}_{0 \leq t \leq 1}$  é uma folheação de  $\tilde{\Delta}$  onde as folhas são geodésicas tais que, para  $t = 1$ ,  $C_1 = A$  e, para  $t = 0$ ,  $C_0 = \tilde{a}$ .

As superfícies  $C_t \times \mathbb{R}$  são compostas por três superfícies mínimas em  $M \times \mathbb{R}$  com ângulos entre elas menores que  $\pi$  e além disso,  $\partial(C_t \times \mathbb{R}) = (\tilde{B} \times \mathbb{R}) \cup (\tilde{C} \times \mathbb{R})$ . Então, fazendo  $t$  variar de 1 a 0, tais superfícies não podem tocar a componente  $N$ , a menos que sejam iguais, o que não ocorre.

Assim, ou  $N = a \times \mathbb{R}$  ou, existe um menor  $t_0 > 0$  tal que  $N$  é assintótico a  $C_{t_0} \times \mathbb{R}$  no infinito.

Suponhamos, por absurdo, que a segunda possibilidade ocorre, isto é, para algum  $0 < t_0 < 1$ , existe uma seqüência  $(x_n) \in N$  tal que  $dist(x_n, C_{t_0} \times \mathbb{R}) \xrightarrow{n \rightarrow \infty} 0$ .

Seja  $\{S(n)\}_{n \geq 1}$  uma seqüência onde cada  $S(n)$  é a superfície  $N$  verticalmente transladada de maneira que a altura do ponto  $x_n$  seja zero.

Pelo mesmo argumento usado para a seqüência de superfícies  $N(n)$ , garantimos que existe subsequência de  $S(n)$  que converge para uma superfície mínima  $S$ . Além disso,  $S$  toca  $C_{t_0} \times \mathbb{R}$  em algum ponto interior, à altura zero, e assim  $S = C_{t_0} \times \mathbb{R}$ .

Seja  $K$  um domínio compacto de  $C_{t_0} \times \mathbb{R}$ , tal que  $K$  está a distância positiva de  $\partial(C_{t_0} \times \mathbb{R})$  e a projeção de  $K$  em  $\tilde{\Delta}$  contém pontos de  $\tilde{\Delta} - \Delta$ .

Como  $S = C_{t_0} \times \mathbb{R}$ , podemos afirmar que existem domínios contidos nas superfícies  $N(n)$  que convergem uniformemente para  $K$  quando  $n \rightarrow \infty$ .

Então, existem pontos de  $N(n)$  cuja projeção vertical está em  $\tilde{\Delta} - \Delta$ . Absurdo, pois as superfícies  $N(n)$  são translações verticais das superfícies  $A(2n)$  cuja projeção vertical está contida em  $\Delta$ .

Portanto,  $N = a \times \mathbb{R}$ , isto é, para todo compacto  $K \subset \Delta - a$  e para todo  $T \in \mathbb{R}$ , existe uma barreira sobre o gráfico de  $u_T$ . Assim, existe uma aplicação  $u : (\Delta - a) \rightarrow \mathbb{R}$  cujo gráfico é mínimo em  $\Delta \times \mathbb{R}$ , tal que  $u = \lim_{T \rightarrow \infty} u_T$ ,

$$u|_b = u|_c = 0 \quad \text{e} \quad \lim_{x \rightarrow a} u(x) = \infty.$$

Provaremos agora a última afirmação do Teorema, isto é, dada uma seqüência de pontos  $z_n \in \text{int}(\Delta)$  tal que  $z_n \rightarrow z \in a$ , teremos

$$|\nabla u(z_n)| \xrightarrow{n \rightarrow +\infty} +\infty.$$

Para cada  $n$  inteiro positivo, sejam  $\gamma_n = u(\Delta) \cap (M \times \{n\})$  e  $\Gamma_n = \pi(\gamma_n)$ , onde  $\pi$  é a projeção vertical de  $\Delta \times \mathbb{R}$  em  $\Delta$ .

Denotemos por  $\Delta_n$  a região conexa de  $\Delta$  limitada por  $\Gamma_n$ ,  $b$  e  $c$ .

Consideremos agora, o gráfico de  $u_{\Delta_n}$  e a seqüência  $(z_n)$  em  $\Delta$  tal que  $z_n \in \Gamma_n, \forall n$ .

Sejam  $\frac{\partial}{\partial t}$  o vetor unitário na direção vertical em  $\Delta \times \mathbb{R}$ ,  $\nu_n$  o vetor conormal, unitário, apontando para fora, no bordo do gráfico  $u(\Delta_n)$  e  $N_n$  o vetor normal unitário, em  $u(\Delta_n)$  tal que  $\langle N_n, \frac{\partial}{\partial t} \rangle \geq 0$ .

Em cada ponto  $p$  do bordo do gráfico de  $u_{\Delta_n}$ , consideramos a base  $\beta = \{(\gamma_n)', \nu_n, N_n\}$  de  $T_p(\Delta \times \mathbb{R})$ , onde  $(\gamma_n)'$  é o vetor tangente unitário a curva  $\gamma_n$ .

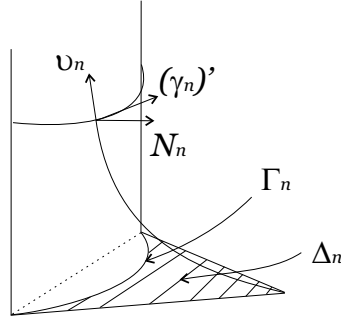


Figura 3.7: Base  $\beta$

Em pontos do bordo de  $u(\Delta_n)$ , escrevemos

$$\frac{\partial}{\partial t} = d \cdot (\gamma_n)' + e \cdot \nu_n + f \cdot N_n, \quad d, e, f \in \mathbb{R}.$$

Sendo a curva  $\gamma_n$  horizontal, seu vetor tangente é ortogonal a  $\frac{\partial}{\partial t}$ , ou seja,  $\langle \frac{\partial}{\partial t}, (\gamma_n)' \rangle = 0$ .

Daí,  $d = 0$  e  $\frac{\partial}{\partial t} = e \cdot \nu_n + f \cdot N_n$ .

Além disso, como  $\langle \nu_n, N_n \rangle = 0$  e  $|\nu_n| = 1$ , temos

$$\left\langle \frac{\partial}{\partial t}, \nu_n \right\rangle = e \quad \text{e} \quad \left\langle \frac{\partial}{\partial t}, N_n \right\rangle = f.$$

Portanto,

$$\frac{\partial}{\partial t} = \left\langle \frac{\partial}{\partial t}, \nu_n \right\rangle \nu_n + \left\langle \frac{\partial}{\partial t}, N_n \right\rangle N_n,$$

ou ainda,

$$\left\langle \frac{\partial}{\partial t}, \nu_n \right\rangle \nu_n = \frac{\partial}{\partial t} - \left\langle \frac{\partial}{\partial t}, N_n \right\rangle N_n.$$

Desta última igualdade, e observando que  $\left| \frac{\partial}{\partial t} \right|^2 = 1$ , encontramos a seguinte relação:

$$\left\langle \frac{\partial}{\partial t}, \nu_n \right\rangle = \sqrt{1 - \left\langle \frac{\partial}{\partial t}, N_n \right\rangle^2}. \quad (3.1)$$

Para concluirmos a prova da afirmação, e conseqüentemente do teorema, mostraremos o seguinte fato mais geral:

*dada  $u : \Delta \rightarrow \mathbb{R}$  função cujo gráfico é mínimo em  $\Delta \times \mathbb{R}$ , com  $u \rightarrow +\infty$  em pontos perto de um arco geodésico aberto  $\alpha$  do bordo de  $\Delta$ , temos que, em tais pontos, o plano tangente a  $u(\Delta)$  é quase vertical.*

Seja  $(z_n)$  uma seqüência de pontos contidos em  $\Delta$  que converge para um ponto  $z$  pertencente para o lado  $a$ , quando  $n \rightarrow \infty$ . Com a notação usada antes, o fato acima significa que o vetor  $N_n(p_n)$ , normal ao gráfico de  $u|_{\Delta_n}$  no ponto  $p_n = (z_n, u(z_n))$  é quase horizontal, quando  $n \rightarrow \infty$ . Assim, para mostrarmos que o fato acima é verdadeiro, é suficiente provar que o plano tangente no ponto  $p_n = (z_n, u(z_n))$  é quase vertical, para  $n$  suficientemente grande.

Para isso, estendemos o campo  $(\nu_n)$  para os pontos no interior do gráfico de  $u|_{\Delta_n}$ . Ou seja, definimos sobre o gráfico de  $u|_{\Delta_\tau}$  o conormal  $\nu_\tau$  apontando para fora, em  $\gamma_\tau \subset u(\Delta_\tau)$ , com  $0 < \tau \leq n$ . Pelo mesmo raciocínio anterior temos

$$\left\langle \frac{\partial}{\partial t}, \nu_\tau \right\rangle = \sqrt{1 - \left\langle \frac{\partial}{\partial t}, N_\tau \right\rangle^2}.$$

Em pontos de  $u(\Delta_n)$ , onde o plano tangente é quase vertical, devemos ter a projeção do vetor normal  $N_n$  na direção vertical  $\frac{\partial}{\partial t}$ , quase nula.

Pela relação (3.1), isto implica que  $\left\langle \frac{\partial}{\partial t}, \nu_n \right\rangle$  aproxima-se de 1, ou seja, o plano tangente no ponto  $p_n \in u(\Delta_n)$ , para  $n$  suficientemente grande, é quase vertical se, e somente se,

$\forall \epsilon > 0$  e  $\forall q \in \text{int}(\alpha)$ ,  $\exists$  vizinhança de  $\alpha$  em  $\Delta$  tal que  $\left\langle \frac{\partial}{\partial t}, \nu_n \right\rangle > 1 - \epsilon$ , para  $n$  bastante grande, em todo ponto de tal vizinhança.

Suponhamos, por absurdo, que isso não ocorre. Assim,

$\exists q \in \text{int}(\alpha)$  e  $\exists \delta > 0$  tal que  $\forall n \in \mathbb{N}$ ,  $\exists (z_n) \in \Delta$ , com  $z_n \xrightarrow{n \rightarrow +\infty} q$  e  $\exists \tilde{n} > n$ , tal que  $\langle \frac{\partial}{\partial t}, \nu_{\tilde{n}} \rangle \leq 1 - \delta$ .

Então, é possível escolher um número  $R > 0$ , independente de  $n$ , de modo que existe um disco  $D(p_n, R)$  inteiramente contido no gráfico de  $u|_{\Delta_n}$ , onde o centro do disco é  $p_n = (z_n, u(z_n))$  e  $R$  é o raio intrínseco. De fato, como  $q \in \text{int} \alpha$ , temos que  $\text{dist}(p_n, \partial(u(\Delta_n))) \gg 0, \forall n$ .

Novamente utilizando estimativas de curvatura para superfícies mínimas estáveis devidas a R. Schoen, garantimos que o gráfico de  $u|_{\Delta_n}$  é gráfico sobre um disco  $D(p_n, r) \subset T_{p_n}(u(\Delta_n))$  e tal gráfico está a uma distância limitada deste disco. Além disso, o raio  $r$  depende somente de  $R$ , ou seja, independe de  $n$ .

Então, para  $z_n$  próximo o bastante de  $\partial\Delta$  temos a projeção vertical de  $D(p_n, r)$  fora de  $\Delta$ . Mas, como a distância entre o gráfico de  $u|_{\Delta_n}$  e  $D(p_n, r)$  é limitada, a projeção de  $u(\Delta_n)$  também está fora de  $\Delta$ . Isso é uma contradição.

Portanto, a afirmação é verdadeira e a prova do Teorema está concluída. ■

## Capítulo 4

### Teorema Jenkins-Serrin em $M^2 \times \mathbb{R}$

Neste capítulo, estabelecemos condições necessárias e suficientes para que exista uma superfície mínima em  $M^2 \times \mathbb{R}$ , que é gráfico sobre um domínio  $D \subset M$ , e que assume os valores  $+\infty$  e  $-\infty$  em arcos geodésicos contidos em  $\partial D$ .

Este resultado foi feito inicialmente por Jenkins e Serrin para domínios contidos em  $\mathbb{R}^2$  (ver [JS]) e depois, por Nelli e Rosenberg, para  $D \subset \mathbb{H}^2$ , em [NR].

Agora,  $M$  é uma variedade Riemanniana completa,  $\dim M$  é igual a 2 e  $D \subset M$  é um domínio compacto, mergulhado e geodesicamente convexo (ver definição na p. 16).

Suponhamos que  $\partial D$  contém dois conjuntos de arcos geodésicos abertos  $A_1, \dots, A_k$  e  $B_1, \dots, B_l$  de maneira que, nem dois arcos  $A_i$ , nem dois arcos  $B_j$ , têm pontos finais em comum. A parte restante de  $\partial D$  é a união de arcos abertos convexos  $C_1, \dots, C_h$  e todos os pontos finais.

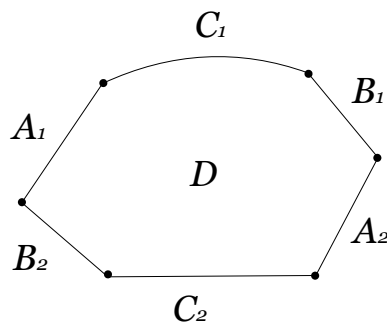


Figura 4.1: Domínio  $D$

Além disso, sejam  $f^s : C_s \rightarrow \mathbb{R}$  funções contínuas, tais que  $\lim_{x \rightarrow \partial C_s} f^s(x) < \infty$ ,  $\forall s = 1, \dots, h$ .

Determinamos condições necessárias e suficientes para que exista uma aplicação  $u : D \rightarrow \mathbb{R}$  cujo gráfico é mínimo em  $D \times \mathbb{R}$  e que satisfaz

$$u|_{A_i} = \infty, \quad u|_{B_j} = -\infty, \quad i = 1, \dots, k, \quad j = 1, \dots, l$$

e sobre cada arco  $C_s$ ,  $s = 1, \dots, h$ ,  $u$  assume o valor contínuo  $f^s$ , fixado *a priori*.

A existência de tal função depende da relação entre os comprimentos dos arcos do bordo de  $D$  e o perímetro dos polígonos geodésicos inscritos em  $D$ , cujos vértices são escolhidos entre os vértices de  $A_i$  e  $B_j$ .

Sendo  $\mathcal{P}$  um tal polígono, usaremos as seguintes notações:

$$\alpha := \sum_{A_i \subset \mathcal{P}} \|A_i\|, \quad \beta := \sum_{B_j \subset \mathcal{P}} \|B_j\|, \quad \gamma := \text{perímetro}(\mathcal{P}).$$

Enunciemos então o

**Teorema 4.1 (Jenkins-Serrin em  $M^2 \times \mathbb{R}$ ).** *Consideremos  $M$  uma superfície Riemanniana,  $D \subset M$  um domínio,  $\mathcal{P} \subset D$  um polígono e  $f^s : C_s \rightarrow \mathbb{R}$  funções,  $s = 1, \dots, h$ , onde  $M$ ,  $D$ ,  $\mathcal{P}$  e  $f^s$  satisfazem as hipóteses anteriores. Se  $C_s \neq \emptyset$  então, existe uma aplicação  $u : D \rightarrow \mathbb{R}$  cujo gráfico é uma superfície mínima em  $D \times \mathbb{R}$  e que satisfaz*

$$u|_{A_i} = +\infty, \quad u|_{B_j} = -\infty, \quad u|_{C_s} = f^s$$

se, e somente se,

$$2 \cdot \alpha < \gamma, \quad 2 \cdot \beta < \gamma, \tag{4.1}$$

para cada polígono  $\mathcal{P}$  inscrito em  $D$ .

Se  $\{C_s\} = \emptyset$ , trocamos a condição (1) por  $\alpha = \beta$ , no caso em que  $\mathcal{P} = \partial D$  e o resultado é o mesmo.

Observemos que a existência da *Superfície de Scherk em  $M^2 \times \mathbb{R}$*  novamente é garantida por este Teorema, mas agora o domínio de definição pode ser mais geral. (Ver Observação 4.2 a seguir.)

**Exemplos.** Seja  $M = \mathbb{S}^2$  uma esfera redonda.

Primeiro, consideraremos  $D$  o domínio aberto limitado por dois arcos geodésicos  $A$  e  $C$ , que se encontram nos pólos de  $\mathbb{S}^2$ . De fato, não é possível construir um domínio em  $\mathbb{S}^2$  limitado por dois arcos geodésicos que se encontram em pontos que não sejam os pólos de  $\mathbb{S}^2$ .

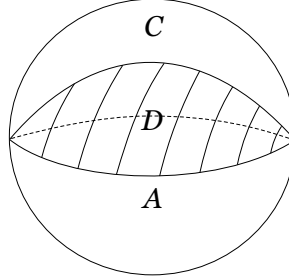


Figura 4.2: Domínio  $D \subset \mathbb{S}^2$

Afirmamos que não existe  $u : D \rightarrow \mathbb{R}$  tal que  $\Sigma_u = \text{gráfico } u$  é mínimo em  $D \times \mathbb{R}$  e  $u|_A = \infty$  e  $u|_C = 0$ .

Suponhamos, por absurdo, que existe tal aplicação  $u$ .

Seja  $\tilde{D}$  o domínio que é a imagem de  $D$  pela composta da reflexão de  $\mathbb{S}^2$ , que deixa  $A$  fixo, e da rotação de  $\mathbb{S}^2$ , que leva  $A$  para  $C$ , é possível encontrar  $v : \tilde{D} \rightarrow \mathbb{R}$ ;  $v|_A = 0$  e  $v|_C = -\infty$ .

Agora, como  $u$  e  $v$  são uniformemente limitadas em todo compacto  $K \subset D$ , é possível transladar  $\Sigma_v$  verticalmente para cima, até termos  $I = \Sigma_u \cap \Sigma_v \neq \emptyset$ . A projeção vertical  $\pi(I)$  satisfaz  $\overline{\pi(I)} \subset ((\text{int } D) \cup \{\text{pontos finais de } A \text{ e } C\})$ . Então, pelo mesmo argumento usado na prova da Afirmação 2.1, existe componente conexa  $U \subset (\text{int } D) - \pi(I)$  tal que  $\partial U \subset \overline{\pi(I)}$ . Consideremos os discos  $D_u = u(U) \subset \Sigma_u$  e  $D_v = v(U) \subset \Sigma_v$ . Podemos supor que  $D_u < D_v$ . Conseguimos a seguinte contradição:

$$\int_{\partial D_u} \left\langle \nu_u, \frac{\partial}{\partial t} \right\rangle < \int_{\partial D_v} \left\langle \nu_v, \frac{\partial}{\partial t} \right\rangle ,$$

pois  $D_u < D_v$  e

$$\int_{\partial D_u} \left\langle \nu_u, \frac{\partial}{\partial t} \right\rangle = 0 = \int_{\partial D_v} \left\langle \nu_v, \frac{\partial}{\partial t} \right\rangle ,$$

pela fórmula do fluxo (ver p. 22).

Então, a aplicação  $u$  não existe.

Este argumento vale quando o ângulo entre os arcos geodésicos é  $\theta$ , onde  $\theta$  varia entre 0 e  $\pi$ .

O que acontece nestes casos é que os domínios deste tipo não satisfazem as condições do *Teorema*, pois é possível ligar os pólos de  $\mathbb{S}^2$  por outro arco geodésico contido no interior do domínio e, para o polígono formado por este novo arco e o arco  $A$ , onde queremos que a aplicação assuma o valor  $+\infty$ , a condição  $2 \cdot \alpha < \gamma$  não é satisfeita.

É verdade que, se o domínio  $D$  é limitado por um arco geodésico  $A$  e um arco estritamente convexo  $C$  que também se encontram nos pólos de  $\mathbb{S}^2$ , uma pequena modificação deste raciocínio pode ser utilizado para concluir que não existe  $u : D \rightarrow \mathbb{R}$ ;  $u|_A = \infty$ ,  $u|_C = 0$ , cujo gráfico  $\Sigma_u$  é mínimo em  $D \times \mathbb{R}$ .

Suponhamos por absurdo, que tal  $u$  existe. Então, novamente encontramos um domínio  $\tilde{D}$  isométrico a  $D$ , que é a imagem de  $D$  pela composta de uma reflexão e de uma rotação de  $\mathbb{S}^2$ , de modo que  $D \cap \tilde{D} \neq \emptyset$ .

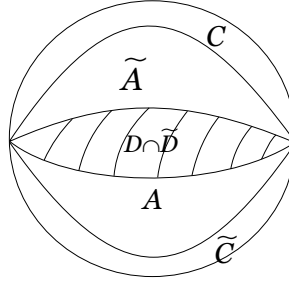


Figura 4.3: Conjunto  $D \cap \tilde{D} \neq \emptyset$

Agora, pela hipótese de absurdo, também existe uma aplicação  $v : \tilde{D} \rightarrow \mathbb{R}$ , tal que  $v|_{\tilde{A}} = -\infty$ ,  $v|_{\tilde{C}} = 0$  e cujo gráfico  $\Sigma_v$  é mínimo em  $\tilde{D} \times \mathbb{R}$ .

Fazendo translação vertical de  $\Sigma_v$  encontramos uma interseção  $I = \Sigma_u \cap \Sigma_v \neq \emptyset$ , tal que  $\overline{\pi(I)} \subset (\text{int } D \cap \tilde{D}) \cup \{\text{pontos finais de } A \text{ e } \tilde{A}\}$ . Novamente, considerando a componente conexa  $U \subset (\text{int } (D \cap \tilde{D})) - \pi(I)$ , dada pela Afirmação 2.1, e os discos  $D_u = u(U) \subset \Sigma_u$  e  $D_v = v(U) \subset \Sigma_v$ , construímos uma contradição.

Mas, se  $A$  é um arco geodésico contido em  $\mathbb{S}^2$  com comprimento menor que  $\pi$  temos que, para qualquer arco estritamente convexo  $C$  tal que  $A \cup C$  é o bordo de um domínio limitado  $D$  contido em  $\mathbb{S}^2$ , existe uma aplicação  $u : D \rightarrow \mathbb{R}$ ;  $u|_A = \infty$ ,  $u|_C = 0$  cujo gráfico é mínimo em  $D \times \mathbb{R}$ .

A existência de tal aplicação  $u$  é garantida pela demonstração do Teorema de Jenkins-Serrin em  $M^2 \times \mathbb{R}$  - *Caso 1*.

Agora, seja  $D$  um domínio compacto, geodesicamente convexo, contido em um hemisfério aberto de  $\mathbb{S}^2$ , cujo bordo é formado por um arco geodésico  $A$ , um arco estritamente convexo  $C$  e dois arcos geodésicos  $B_1, B_2$  não-consecutivos. Por exemplo, ver o domínio ilustrado na figura a seguir.

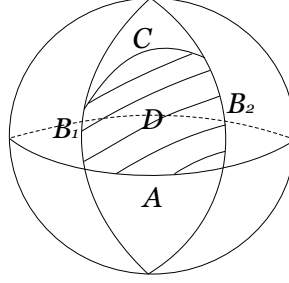


Figura 4.4: Domínio  $D$

Vamos usar o Teorema para mostrar que para domínios deste tipo sempre existe uma aplicação  $u : D \rightarrow \mathbb{R}$ , cujo gráfico é mínimo em  $D \times \mathbb{R}$ , e que assume os seguintes valores no bordo de  $D$ :

$$u|_A = \infty, \quad u|_{B_n} = -\infty, \quad n = 1, 2, \quad u|_C = f,$$

não importando o tamanho dos arcos  $A, B_n, C$ .

Existem dois polígonos inscritos em  $D$  que satisfazem as hipóteses do Teorema. São eles

$$P_n = A_1 \cup B_n \cup T_n, \quad n = 1, 2,$$

onde  $T_n \subset D$  é o arco geodésico ligando os pontos extremos de  $B_n$  e  $A_1$ .

Para cada  $P_n$ , temos

$$2 \cdot \alpha_n = 2 \cdot \|A_1\|,$$

$$2 \cdot \beta_n = 2 \cdot \|B_n\|,$$

$$\gamma_n = \|A_1\| + \|B_n\| + \|T_n\|, \quad n = 1, 2.$$

Afirmamos que,  $2 \cdot \alpha_n < \gamma_n$  e  $2 \cdot \beta_n < \gamma_n$ ,  $n = 1, 2$ .

De fato,

$$\begin{aligned} 2 \cdot \alpha_n &= 2 \cdot \|A_1\| = \|A_1\| + \|A_1\| \\ &< \|A_1\| + (\|B_n\| + \|T_n\|) \\ &= \gamma_n \end{aligned}$$

e

$$\begin{aligned} 2 \cdot \beta_n &= 2 \cdot \|B_n\| = \|B_n\| + \|B_n\| \\ &< \|B_n\| + (\|A_1\| + \|T_n\|) \\ &= \gamma_n . \end{aligned}$$

Então, dada  $f : C \rightarrow \mathbb{R}$  contínua, o Teorema garante que existe aplicação  $u : D \rightarrow \mathbb{R}$  solução mínima tal que,

$$u|_A = \infty , \quad u|_{B_n} = -\infty , \quad u|_C = f ,$$

como queríamos.

**Observação 4.1.** *Dois arcos convexos  $C_s, C_{\bar{s}}$ , contidos em  $\partial D$ , podem ter um ponto final  $p$  em comum e, conseqüentemente,  $f^s$  poderá ser descontínua em tal  $p$ . Ficará claro, pela prova do Teorema, que a superfície mínima obtida neste caso conterà o segmento vertical passando por  $p$  cujos extremos serão os valores limites, em  $p$ , das funções contínuas  $f^s$  e  $f^{\bar{s}}$ .*

**Prova do Teorema.** *Inicialmente mostraremos que a condição (4.1) é suficiente para a existência de  $u$ . A demonstração será dividida em cinco casos.*

**CASO 1.**  $\partial D$  contém apenas um arco geodésico  $A$  e um arco estritamente convexo  $C$  e a função  $f : C \rightarrow \mathbb{R}$  é contínua e positiva.

**Observação 4.2.** *A superfície  $\Sigma = \text{gráfico } u$ , cuja existência é demonstrada neste caso, é uma superfície tipo Scherk semelhante a que o Teorema 3.1 assegura a existência. Mas aqui, permitimos que o domínio da aplicação  $u$  possua arcos estritamente convexos em seu bordo enquanto que, no Teorema 3.1, o domínio é um triângulo geodésico. De fato, nestes arcos não-geodésicos, a função  $u$  não pode assumir valores infinitos. (Ver Afirmação 4.1 a seguir.)*

*A demonstração do Caso 1 segue os mesmos passos da prova do Teorema 3.1.*

*Prova.* Seja  $n \in \mathbb{R}, n > 0$ . Afirmamos que existe uma função  $u_n : D \rightarrow \mathbb{R}$  cujo gráfico é mínimo em  $D \times \mathbb{R}$  e que assume os seguintes valores no bordo no bordo de  $D$ :

$$u_n|_A = n, \quad u_n|_C = \min(n, f).$$

De fato, consideremos  $\Gamma_n \subset \partial(D \times \mathbb{R})$  a curva formada pela união do arco geodésico  $A$  elevado a uma altura  $n$ , do gráfico da função  $\min(n, f)$  e dos arcos geodésicos verticais ligando os pontos finais destas duas curvas.

Como  $A$  é geodésica,  $C$  é arco estritamente convexo e, conseqüentemente,  $D$  é região convexa, temos que  $\partial(D \times \mathbb{R})$  é boa-barreira para resolver o problema de Plateau. ( Ver Teorema (Meeks-Yau), p. 17).

Então, seja  $\Sigma_n$  a solução para o problema de Plateau em  $D \times \mathbb{R}$  com bordo  $\Gamma_n$ .

O domínio  $D$  e a curva  $\Gamma_n$  satisfazem as hipóteses do Teorema de Radó em  $M^2 \times \mathbb{R}$  (Teorema 2.1, Capítulo 2). Portanto,  $\Sigma_n$  é gráfico de uma função  $u_n$  definida em  $D$  e  $u_n$  assume os valores desejados no bordo, concluindo assim a afirmação.

Pelo Princípio do Máximo Geral, Teorema 2.2, a sequêcia de funções  $\{u_n\}$  é uma sequêcia não-decrescente.

Provaremos agora, que a sequêcia  $\{u_n\}$  é uniformemente limitada sobre subconjuntos compactos de  $D - A$ . Para isso, construiremos uma barreira sobre  $u_n$ , utilizando o Critério de Douglas (p.27).

Fixemos algumas notações:

- $\tilde{A}$  arco geodésico de  $M(0)$ ,  $A \subset \tilde{A}$  e  $|\tilde{A}| = |A| + 2 \cdot \delta$ ,  $\delta > 0$  pequeno;
- $\partial A = \{P, Q\}$ ,  $\partial \tilde{A} = \{\tilde{P}, \tilde{Q}\}$ ;  $dist(P, \tilde{P}) = dist(Q, \tilde{Q}) = \delta$ ;
- $\tilde{C}$  arco estritamente convexo ligando  $\tilde{P}$  a  $\tilde{Q}$ ,  $\tilde{C} // C$ ,  $dist(\tilde{C}, C) = \delta$  ;
- $\tilde{D}$  região limitada por  $\tilde{A}$  e  $\tilde{C}$ ;
- $M$  ponto médio do arco  $\tilde{C}$ ;
- $\tilde{E}, \tilde{F} \in \tilde{C}$  tal que  $dist(\tilde{E}, M) = dist(\tilde{F}, M) = \epsilon$ ,  $\epsilon > 0$  pequeno;
- $\alpha_\epsilon, \beta_\epsilon$  geodésicas minimizantes contidas em  $\tilde{D}$  ligando os pontos  $\tilde{P}$  a  $\tilde{E}$  e  $\tilde{Q}$  a  $\tilde{F}$ , respectivamente;
- $\tilde{\alpha}_\epsilon, \tilde{\beta}_\epsilon$  arcos contidos em  $\tilde{C}$ , ligando novamente os pontos  $\tilde{P}$  a  $\tilde{E}$  e  $\tilde{Q}$  a  $\tilde{F}$ ;
- $\tilde{\alpha}, \tilde{\beta}$  arcos de  $\tilde{C}$ , tais que  $\tilde{C} = \tilde{\alpha} \cup \tilde{\beta}$ ,  $\tilde{\alpha} \cap \tilde{\beta} = \{M\}$ ;

- $\alpha, \beta$  geodésicas minimizantes ligando  $\tilde{P}$  a  $M$  e  $\tilde{Q}$  a  $M$ , respectivamente;
- e, finalmente,  $\tilde{\gamma}_\epsilon \subset \tilde{D}$  geodésica minimizante ligando  $\tilde{E}$  e  $\tilde{F}$ .

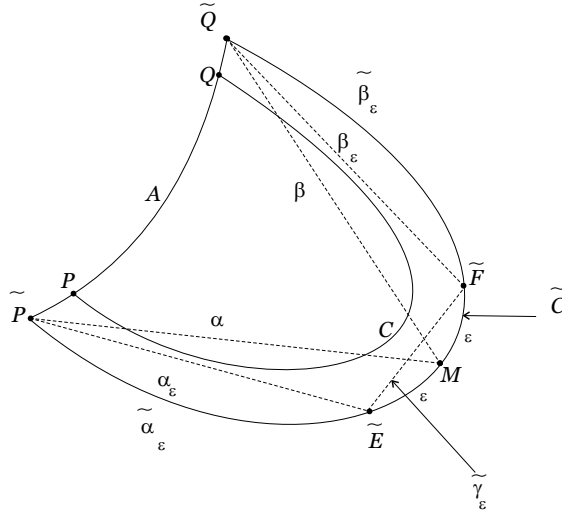


Figura 4.5: Região  $\tilde{D}$

Seja  $T \in \mathbb{R}, T > 0$ .

Denotemos por  $\tilde{R}(\tilde{\alpha}_\epsilon, T)$  o bordo do disco  $D_{\tilde{\alpha}_\epsilon} := \tilde{\alpha}_\epsilon \times [0, T]$  e  $\tilde{R}(\tilde{\beta}_\epsilon, T)$  o bordo do disco  $D_{\tilde{\beta}_\epsilon} := \tilde{\beta}_\epsilon \times [0, T]$ .

Queremos encontrar superfície mínima  $S(\delta, T) \subset \tilde{D} \times \mathbb{R}$ , gênero  $S(\delta, T) = 1$ , tal que  $\partial S(\delta, T) = \tilde{R}(\tilde{\alpha}_\epsilon, T) \cup \tilde{R}(\tilde{\beta}_\epsilon, T)$ .

Sejam  $\tilde{D}_{\tilde{\alpha}_\epsilon}$  e  $\tilde{D}_{\tilde{\beta}_\epsilon}$  os discos soluções para o problema de Plateau com bordo  $\tilde{R}(\tilde{\alpha}_\epsilon, T)$  e  $\tilde{R}(\tilde{\beta}_\epsilon, T)$ , respectivamente.

Considere o anel suave por partes  $N = \tilde{A} \times [0, T] \cup \tilde{\gamma}_\epsilon \times [0, T] \cup \tilde{P}\tilde{E}\tilde{F}\tilde{Q} \cup \tilde{P}\tilde{E}\tilde{F}\tilde{Q}(T)$ , onde  $\tilde{P}\tilde{E}\tilde{F}\tilde{Q}$  é o quadrilátero em  $M(0)$  de lados  $\tilde{A}$ ,  $\tilde{\alpha}_\epsilon$ ,  $\tilde{\gamma}_\epsilon$  e  $\tilde{\beta}_\epsilon$ .

Temos  $\partial N = \tilde{R}(\tilde{\alpha}_\epsilon, T) \cup \tilde{R}(\tilde{\beta}_\epsilon, T)$ .

A área do anel  $N$  é igual a

$$\|\tilde{A}\| \cdot T + \|\tilde{\gamma}_\epsilon\| \cdot T + 2 \cdot q,$$

onde  $q = \text{área}(\tilde{P}\tilde{E}\tilde{F}\tilde{Q})$ .

Pelo Critério de Douglas (p. 27), se mostramos que

$$\text{área } N < \text{área } (\tilde{D}_{\tilde{\alpha}_\epsilon} \cup \tilde{D}_{\tilde{\beta}_\epsilon}),$$

garantimos que existe a superfície  $S(\delta, T)$ .

Seja  $R(\alpha_\epsilon, T)$  o bordo do disco  $D_{\alpha_\epsilon} := \alpha_\epsilon \times [0, T]$ .

Como  $\alpha_\epsilon$  é geodésica minimizante ligando os pontos  $\tilde{P}$  e  $\tilde{E}$ , podemos utilizar a *fórmula da co-área* (p. 28) de maneira análoga a feita na demonstração do Teorema 3.1, para garantir que  $\tilde{D}_{\tilde{\alpha}_\epsilon}$  tem área maior ou igual a área de  $D_{\alpha_\epsilon}$ .

De fato,  $\forall \tau \in [0, T]$  as interseções  $D_{\tilde{\alpha}_\epsilon} \cap M(\tau)$  e  $D_{\alpha_\epsilon} \cap M(\tau)$  são curvas ligando os pontos  $\tilde{P} \times \{\tau\}$  e  $\tilde{E} \times \{\tau\}$  e, além disso,  $\alpha_\epsilon \times \{\tau\}$  é a curva de menor comprimento ligando estes pontos.

Fazendo as mesmas considerações para o disco  $D_{\beta_\epsilon}$  temos que

$$\|D_{\alpha_\epsilon}\| + \|D_{\beta_\epsilon}\| \leq \|D_{\tilde{\alpha}_\epsilon}\| + \|D_{\tilde{\beta}_\epsilon}\|.$$

Assim, se mostrarmos que

$$\|N\| < \|D_{\alpha_\epsilon}\| + \|D_{\beta_\epsilon}\|,$$

a superfície  $S(\delta, T)$  existe.

Ou seja, devemos mostrar que

$$\|\tilde{A}\| \cdot T + \|\tilde{\gamma}_\epsilon\| \cdot T + 2 \cdot q < (\|\alpha_\epsilon\| + \|\beta_\epsilon\|) \cdot T.$$

Como  $\|\tilde{A}\| = \|N\| + 2 \cdot \delta$ , isso equivale a

$$\|\alpha_\epsilon\| + \|\beta_\epsilon\| - (\|N\| + 2 \cdot \delta + \|\tilde{\gamma}_\epsilon\|) \cdot T > 2 \cdot q.$$

O número  $q = \text{área}(\tilde{P}\tilde{E}\tilde{F}\tilde{Q})$  é constante então, fazendo  $T$  suficientemente grande e  $\epsilon$  e  $\delta$  suficientemente pequenos (daí,  $\|\tilde{\gamma}_\epsilon\| \rightarrow 0$ ,  $2 \cdot \delta \rightarrow 0$  e  $\|\alpha_\epsilon\| \rightarrow \|\alpha\|$ ,  $\|\beta_\epsilon\| \rightarrow \|\beta\|$ ) é suficiente mostrar que

$$\|\alpha\| + \|\beta\| - \|N\| > 0,$$

isto é,

$$\|N\| < \|\alpha\| + \|\beta\|.$$

De fato, utilizando a desigualdade triangular válida em  $M$ , temos

$$\begin{aligned} \|N\| < \|\tilde{A}\| &= \text{dist}(\tilde{P}, \tilde{Q}) \\ &\leq \text{dist}(\tilde{P}, M) + \text{dist}(M, \tilde{Q}) \\ &= \|\alpha\| + \|\beta\|. \end{aligned}$$

Portanto, existe superfície  $S(\delta, T)$  de gênero 1 e bordo  $\tilde{R}(\tilde{\alpha}_\epsilon, T) \cup \tilde{R}(\tilde{\beta}_\epsilon, T)$ .

Afirmamos que  $S(\delta, T)$  é um anel.

A prova é feita de maneira análoga a utilizada para mostrar que a superfície  $A(\delta, T)$  é anel na demonstração do Teorema 3.1 (ver p. 30). O argumento é baseado em dois fatos:  $\tilde{D} \times \mathbb{R}$  é um espaço contrátil e, conseqüentemente, temos que  $S(\delta, T)$  pertence a classe de homologia (mod 2) do anel  $N = \tilde{A} \times [0, T] \cup \tilde{\gamma}_\epsilon \times [0, T] \cup \tilde{P}\tilde{E}\tilde{F}\tilde{Q} \cup \tilde{P}\tilde{E}\tilde{F}\tilde{Q}(T)$ , e o anel  $N$  é orientável.

O anel  $S(\delta, T)$  está acima de  $\Sigma_n = \text{gráfico de } u_n, \forall n > 0$ .

Isto é, se uma reta vertical em  $(\text{int } D) \times \mathbb{R}$  encontrar as duas superfícies então, os pontos de  $S(\delta, T)$  estão acima dos pontos do gráfico de  $u_n$ .

Se transladarmos verticalmente o anel  $S(\delta, T)$  até a altura  $n$ , e depois o abaixarmos continuamente, o Princípio no Máximo Clássico garante que não existem pontos de interseção interiores entre  $S(\delta, T)$  e  $\Sigma(n)$ , até  $S(\delta, T)$  voltar a posição original.

Além disso,  $\delta > 0$  garante que  $\partial S(\delta, T)$  não toca  $\partial \Sigma_n$ .

Fazendo  $\delta \rightarrow 0$ , o anel  $S(T) = S(0, T)$  também está acima de  $\Sigma_n$ .

Temos que  $\partial S(T) \cap \partial \Sigma_n$  é formado por  $(P \times [0, T]) \cup (Q \times [0, T])$ , pois  $n$  e  $f$  são positivos. O Princípio do Máximo no bordo garante que em pontos interiores destes segmentos verticais o plano tangente a  $S(T)$  está “fora” do plano tangente a  $\Sigma_n$ .

Assim, é verdade que  $S(T)$  está acima de  $\Sigma_n, \forall n$ , ou seja, o anel  $S(T)$  está em cima do gráfico de  $u_n$  sobre todo compacto  $K \subset \pi(S(T))$ , onde  $\pi : D \times \mathbb{R} \rightarrow D$  é a projeção vertical.

Portanto,  $u = \lim_{n \rightarrow \infty} u_n$  existe em todo compacto  $K \subset \pi(S(T))$ .

Vamos mostrar que, quando  $T \rightarrow \infty$ , tais compactos exaurem  $D - A$ .

Seja  $\Omega$  a componente conexa, não-compacta de  $(D \times \mathbb{R}) - \text{int}(S(T))$ .  $\partial \Omega$  é boa-barreira para resolver Plateau pois,  $\partial \Omega = \partial(D \times \mathbb{R}) \cup S(T)$  é formado por superfícies mínimas e por superfícies com vetor curvatura média positivo com respeito ao vetor normal apontando para dentro. Além disso, o ângulo entre estas partes é menor ou igual a  $\pi$ .

Então, dado  $k \in \mathbb{R}, k > T$ , temos que existe superfície mínima conexa  $\tilde{S}(k) \subset \Omega \subset D \times \mathbb{R}$  solução para o problema de Plateau com bordo  $R(C_1, k) \cup R(C_2, k)$ , onde  $C_1$  é o arco contido em  $C$ , ligando  $P$  a  $M$ ,  $M$  ponto médio de  $C$ , e  $C_2 \subset C$  liga  $Q$  a  $M$ . Agora,  $\tilde{S}(k)$  não é necessariamente um anel. Mas, no que segue o gênero de  $S(k)$  não vai interferir.

A conexidade de  $\tilde{S}(k)$  é novamente consequência da *fórmula da co-área*. Observando que, a superfície não conexa de menor área com este bordo é a união de dois discos e, estes têm área maior que o anel cuja existência é garantida pelo *Critério de Douglas*.

Transladando verticalmente o anel  $S(T)$  a uma altura  $k - T$  e depois levando-o de volta a sua posição inicial garantimos, usando o Princípio do Máximo Clássico, que  $S(T)$  e  $\tilde{S}(k)$  não se tocam em pontos interiores. Além disso, os seus planos tangentes no bordo não são paralelos e o plano tangente a superfície  $\tilde{S}(k)$  é “exterior” ao plano tangente ao anel  $S(T)$  num mesmo ponto.

Assim, quando  $k \rightarrow \infty$ , os planos tangentes a superfície  $\tilde{S}(k)$  ao longo dos segmentos verticais do bordo têm inclinação controlada pela inclinação dos planos tangentes ao anel  $S(T)$ .

A família de superfícies  $\{\tilde{S}(k)\}_{k>T}$  tem área local uniformemente limitada pela área do bordo de uma bola  $B(r) \subset \text{int}(D \times \mathbb{R})$ . (Para a prova desta afirmação ver página 32.)

Considere para cada  $n$  inteiro,  $n > T$ , a superfície  $I(n)$  como  $\tilde{S}(2 \cdot n)$  transladada para baixo uma distância  $n$ .

Afirmamos que a sequência  $\{I(n)\}_{n>k}$  possui subsequência convergindo para superfície mínima  $I(\infty) \subset D \times \mathbb{R}$ .

Inicialmente usamos o Teorema ([Sc]) que estabelece estimativas de curvatura para superfícies mínimas estáveis (p. 33) para garantir que

*dada bola  $B^1(p, r) \subset \text{int}(D \times \mathbb{R})$ ,  $\exists \delta > 0$  tal que  $\forall z \in B(p, \frac{r}{2}) \cap I(n)$  uma vizinhança  $U$  de  $z$  dentro de  $I(n)$  é gráfico  $J_n^z$ , de gradiente limitado, sobre o disco  $D_n(z, \delta) \subset T_z(I(n))$ , onde o raio  $\delta$  é o mesmo para todo  $z$ .*

Como  $I(n)$  tem área uniformemente limitada, o número de gráficos  $J_n^z$  tem limitação superior independente de  $n$ .

Agora, usamos resultados de convergência para gráficos mínimos para garantir que existe limite  $N^1(\infty)$  da sequência  $N(n) \cap B^1(p, \frac{r}{2})$ ;  $\partial N^1(\infty) \subset \partial B^1(p, \frac{r}{2})$ . (Para argumento completo ver p. 33.)

Em uma bola  $\tilde{B}$  que intersecta o bordo de  $D \times \mathbb{R}$ , garantimos que  $I(N)$  tem estimativas de gradiente no bordo, pois existe limitação do ângulo do plano tangente. Daí, também perto do bordo, podemos aplicar os resultados de convergência para gráficos mínimos e garantir que existe subsequência de  $I(n)$  convergindo para superfície mínima  $I_\infty^{\tilde{B}} \subset \tilde{B}$ ,  $\partial I_\infty^{\tilde{B}} \subset \partial \tilde{B}$ .

Seja  $\{B_i(p_i, r)\}_{i \in \mathbb{N}}$  recobrimento de  $D \times \mathbb{R}$  tal que  $\{B_i(p_i, \frac{r}{2})\}_{i \in \mathbb{N}}$  ainda é recobrimento de  $D \times \mathbb{R}$  e  $B_i \cap B_{i+1} \neq \emptyset$ ,  $\forall i \in \mathbb{N}$ , onde  $B_i = B_i(p_i, \frac{r}{2})$ .

Sabemos que  $\forall B_i$ , existe subsequência de  $I(n)$  convergente para gráfico mínimo  $I_\infty^i \subset B_i$ ,  $\partial I_\infty^i \subset \partial B_i$ .

Utilizando argumento de subsequência diagonal encontramos superfície mínima  $I(\infty) \subset D \times \mathbb{R}$ , como queríamos.

Pelo Princípio do Máximo Geral, o anel  $S(T)$  pode ser transladado de  $-\infty$  a  $+\infty$

sem tocar  $I(\infty)$  em pontos interiores.

Então,  $I(\infty)$  contém componente conexa  $I$  tal que  $\partial I = (P \times \mathbb{R}) \cup (Q \times \mathbb{R})$ .

Provaremos que  $I = A \times \mathbb{R}$ ,  $A \subset \partial D$  arco geodésico.

Usando a notação estabelecida anteriormente (ver p. 45), seja  $\gamma : [-1, 1] \rightarrow \tilde{C}$  parametrização do arco  $\tilde{C}$  tal que  $\gamma(0) = \tilde{M}$ ,  $\gamma(-1) = \tilde{P}$  e  $\gamma(1) = \tilde{Q}$ .

Consideremos o conjunto de curvas  $\{\tilde{C}_t\}_{0 \leq t \leq 1} \subset \tilde{D}$ , onde  $\tilde{C}_t = \gamma[-1, -t] \cup \tilde{\gamma}_t \cup \gamma[t, 1]$  e  $\tilde{\gamma}_t$  é a única geodésica minimizante de  $D$  ligando os pontos  $\gamma(-t)$  a  $\gamma(t)$ .

Como  $\tilde{D}$  é geodesicamente convexo,  $\{\tilde{C}_t\}_{0 \leq t \leq 1}$  é folheação de  $\tilde{D}$  tal que  $\tilde{C}_0 = \tilde{A}$  e  $\tilde{C}_1 = \tilde{C}$ .

Cada  $\tilde{C}_t$  é formado por três superfícies em  $\tilde{D} \times \mathbb{R}$ :  $\tilde{\gamma}_t \times \mathbb{R}$  superfície mínima,  $\gamma[-1, -t] \times \mathbb{R}$  e  $\gamma[t, 1] \times \mathbb{R}$  superfícies com vetor curvatura média apontando para dentro de  $\tilde{D}$ .

Além disso, o ângulo entre estas superfícies é menor que  $\pi$ .

O bordo de  $\tilde{C}_t \times \mathbb{R}$ , para cada  $t > 0$ , é igual a  $(\tilde{P} \times \mathbb{R}) \cup (\tilde{Q} \times \mathbb{R})$ .

Fazendo  $t$  variar de 0 a 1, as superfícies  $\tilde{C}_t \times \mathbb{R}$  não podem tocar a componente  $I$ , a menos que sejam iguais, o que não ocorre já que,  $\partial I \neq \partial(\tilde{C}_t \times \mathbb{R})$ .

Assim, ou  $I = A \times \mathbb{R}$ , ou existe menor  $t_0 > 0$  tal que  $I$  é assintótico a  $\tilde{C}_{t_0} \times \mathbb{R}$  no infinito.

A segunda possibilidade não acontece. Caso contrário, é possível encontrar domínios contidos nos anéis  $I(n)$  que convergem para um compacto  $K$  cuja projeção em  $\tilde{D}$  contém pontos de  $\tilde{D} - D$ . Isso é um absurdo, pois a projeção das superfícies  $I(n)$  é igual a projeção das superfícies  $\tilde{S}(k)$ , ou seja,  $\pi(I(n)) \subset D$ .

Logo,  $I = A \times \mathbb{R}$  e a projeção das superfícies  $\tilde{S}(k)$  exaurem  $D - A$  quando  $k \rightarrow \infty$ , garantindo a limitação dos gráficos de  $u_n$  em  $D - A$  e, conseqüentemente, a existência da função  $u : D \rightarrow \mathbb{R}$ ;  $u = \lim_{n \rightarrow \infty} u_n$ .

Como a sequência  $u_n$  é não-decrescente, fazendo  $n \rightarrow \infty$ , temos  $u|_A = \infty$  e, em  $C$ ,  $u = \lim_{n \rightarrow \infty} \min(f, n) = f$ .

Ou seja,  $u$  assume os valores desejados no bordo e o *Caso 1* está demonstrado.

**Observação 4.3.** *Seja  $C \subset M$  curva estritamente convexa pertencente ao bordo de um domínio  $D \subset M$  que satisfaz as hipóteses do Teorema 4.1. Denotemos por  $\mathcal{C}(C)$  o convex-hull (aberto) de  $C$ . Dada uma aplicação  $u : (\mathcal{C}(C) \cup C) \rightarrow \mathbb{R}$ , cujos valores sobre  $C$  são limitados, a demonstração do Caso 1 do Teorema 4.1 garante que  $u$  é sempre limitada sobre um subconjunto compacto de  $\mathcal{C}(C)$  por uma constante que depende somente de  $u|_C$ . De fato, considerando  $A$  geodésica ligando os pontos finais de  $C$  e o domínio  $D = \mathcal{C}(C)$  a prova do Caso 1 mostra que existe  $\phi_+$  superfície*

tipo Scherk definida em  $D$  tal que  $\phi_{+|_A} = +\infty$ ,  $\phi_{+|_C} = u|_C$  e, em todo compacto  $K \subset \mathcal{C}(C)$ ,  $\phi_+$  está acima de  $u$ .

Da mesma forma, garantimos que se  $C_1$  e  $C_2$  são dois arcos estritamente convexos de  $\partial D$  com um vértice  $P$  em comum e  $u|_{C_1} = f_1$ ,  $u|_{C_2} = f_2$  (não necessariamente  $f_1(P) = f_2(P)$ ), a mesma observação vale.

**Afirmção 4.1.** *Sejam  $C$  um arco estritamente convexo,  $\mathcal{C}(C)$  o convex-hull (aberto) de  $C$  e  $u : \mathcal{C}(C) \rightarrow \mathbb{R}$  uma solução mínima. Se  $u$  é ilimitada em  $C$  então,  $u$  é ilimitada em  $\mathcal{C}(C)$ .*

*Prova.* Como  $u|_C = \infty$ , é possível supor que  $u \geq 0$  em  $D = \mathcal{C}(C)$ .

Suponhamos, por absurdo, que existe um ponto  $p \in \mathcal{C}(C)$ , onde  $u(p) < +\infty$ .

Consideremos a aplicação  $\phi_- : \mathcal{C}(C) \rightarrow \mathbb{R}$ ;  $\phi_-|_C = 0$  e  $\phi_-|_A = -\infty$ , cujo gráfico é uma superfície do tipo Scherk.

Temos  $u > \phi_-$ .

Como  $\phi_-|_{\mathcal{C}(C)}$  é limitada, podemos transladar verticalmente o gráfico de  $\phi_-$  para cima, até que este toque o gráfico de  $u$  no ponto  $(p, u(p))$ . Ou seja, os gráficos das soluções mínimas  $u$  e  $\phi_-$  se tocam num primeiro ponto interior. Isto é um absurdo e, portanto, não existe tal ponto  $p \in \mathcal{C}(C)$  o que conclui a prova da afirmação. ■

Antes de continuarmos a prova do Teorema, precisaremos estabelecer alguns resultados sobre o fluxo da terceira coordenada do vetor conormal ao bordo de um gráfico mínimo.

Nas considerações a seguir,  $D \subset M^2$  é um domínio aberto, geodesicamente convexo e a aplicação  $u : \bar{D} \rightarrow \mathbb{R}$  é tal que  $\Sigma = \text{gráfico de } u$  é mínimo em  $D \times \mathbb{R}$  e  $u|_{\partial D}$  é limitado.

Definimos  $\nu_u(p)$ , o vetor conormal unitário apontado para fora em  $p \in \partial\Sigma$ , como o vetor unitário pertencente a  $T_p\Sigma$  e perpendicular a  $T_p(\partial\Sigma)$ , da maneira usual. Denotamos por  $(\nu_3)_u$  a componente do vetor  $\nu_u$  na direção  $\frac{\partial}{\partial t}$ .

**Afirmção 4.2.** *Seja  $A \subset \partial D$  arco geodésico aberto.*

*Então,  $|(\nu_3)_u(p)| < 1$ ,  $\forall p = (z, u(z)) \in \partial\Sigma$ , onde  $z \in A$ .*

*Prova.* Sabemos que  $|(\nu_3)_u(p)| \leq 1$ ,  $\forall p \in \partial\Sigma$ .

Suponhamos, por absurdo, que  $\exists p = (z, u(z)) \in \partial\Sigma$ , onde  $z \in A$ , tal que  $|(\nu_3)_u(p)| = 1$ .

Pela relação  $(\nu_3)_u = \sqrt{1 - (N_3)_u^2}$  (ver p.37), isto significa que em  $p$  o plano tangente a  $\Sigma$  é vertical.

Sendo  $A$  arco geodésico,  $A \times \mathbb{R}$  é superfície mínima em  $M \times \mathbb{R}$ .

Temos que,  $p \in A \times \mathbb{R}$  e o plano tangente a  $A \times \mathbb{R}$  em  $p$  também é vertical.

Então,  $T_p \Sigma$  e  $T_p(A \times \mathbb{R})$  são paralelos.

Além disso,  $\Sigma$  está de um único lado da superfície  $A \times \mathbb{R}$ , pois  $\partial(D \times \mathbb{R})$  é mean-convex. Nessas condições, o Princípio do Máximo no bordo garante que  $\Sigma = A \times \mathbb{R}$ . Absurdo. ■

#### Afirmção 4.3.

$$\int_{\partial \Sigma} (\nu_3)_u d\tilde{s} = 0 ,$$

onde  $\tilde{s}$  é uma parametrização para  $\partial \Sigma$ .

*Prova.*  $\Sigma$  superfície mínima implica que  $h$ , aplicação altura em  $M^2 \times \mathbb{R}$ , é harmônica sobre  $\Sigma$ . Para referência deste resultado ver [Ro], Lemma 3.1. Então, pelo Teorema de Stokes, temos

$$0 = \int_{\Sigma} \Delta h dV_{\Sigma} = \int_{\partial \Sigma} \langle \nabla_{\Sigma} h, \nu \rangle dV_{\Sigma} , \quad (4.2)$$

onde  $\nu$  é o conormal unitário exterior a  $\partial \Sigma$ .

Mas,  $\nabla_{M^2 \times \mathbb{R}} h = \frac{\partial}{\partial t} \cdot E$ , como

$$\nabla_{M^2 \times \mathbb{R}} h = \nabla_{\Sigma} h + \langle N, \nabla_{M^2 \times \mathbb{R}} h \rangle N ,$$

onde  $N$  normal a  $\Sigma$ , temos

$$\nabla_{\Sigma} h = \frac{\partial}{\partial t} - \left\langle N, \frac{\partial}{\partial t} \right\rangle N .$$

Portanto, escrevemos (4.2) como

$$\int_{\partial \Sigma} \left\langle \frac{\partial}{\partial t} - \left\langle N, \frac{\partial}{\partial t} \right\rangle N, \nu \right\rangle dV_{\partial \Sigma} = 0.$$

Mas,  $\langle N, \nu \rangle = 0$ . Daí,

$$\int_{\partial \Sigma} \left\langle \frac{\partial}{\partial t}, \nu \right\rangle dV_{\partial \Sigma} = 0,$$

isto é,

$$\int_{\partial\Sigma} (\nu_3)_u dV_{\partial\Sigma} = 0 ,$$

como afirmamos. ■

**Observação 4.4.** *É possível escolher um parâmetro  $s$  para  $\partial D$  de modo que,  $\tilde{s} = u(s)$  seja parametrização por comprimento de arco para  $\partial\Sigma$ . Fazendo isto, temos*

$$\begin{aligned} \int_{\partial\Sigma} (\nu_3)_u d\tilde{s} &= \int_{\partial D} (\nu_3)_u |u'(s)| ds \\ &= \int_{\partial D} (\nu_3)_u ds. \end{aligned}$$

Assim, podemos escrever a Afirmação 4.3 como

$$\int_{\partial D} (\nu_3)_u ds = 0 .$$

**Lema 4.1.** *Seja  $C$  arco estritamente convexo em  $\partial D$ . Então,*

$$\int_C (\nu_3)_u ds < \|C\|.$$

*Prova.*

Afirmamos que  $|(\nu_3)_u(p)| < 1, \forall p = (z, u(z)),$  onde  $z \in C$  .

Suponhamos, por absurdo, que existe  $p = (z, u(z)) \in \partial\Sigma$  tal que  $|(\nu_3)_u(p)| = 1.$

Sejam  $C'(z)$  vetor tangente a curva  $C$  em  $z$  e  $\gamma \subset M$  geodésica passando por  $z$  tal que  $\gamma'(z) = C'(z).$

Como  $|(\nu_3)_u(p)| = 1$  e  $\gamma'(z) = C'(z),$   $T_p\Sigma$  e  $T_p(\gamma \times \mathbb{R})$  são verticais e paralelos.

Além disso, sendo  $C$  arco estritamente convexo,  $C$  está de um único lado da geodésica  $\gamma.$

Então,  $\Sigma$  está de um único lado da superfície mínima  $\gamma \times \mathbb{R}.$

Nessas condições, o Princípio do Máximo no bordo garante que  $\Sigma = \gamma \times \mathbb{R}.$  Absurdo.

Assim,

$$\begin{aligned} \int_C (\nu_3)_u ds &\leq \int_C |(\nu_3)_u| ds \\ &< \int_C 1 ds = \|C\|. \end{aligned}$$

■

**Lema 4.2.** *Sejam  $A \subset \partial D$  arco geodésico e  $\{u_n\}$  seqüência de soluções mínimas em  $D$  e contínuas em  $D \cup A$ . Para cada  $n$ ,  $\nu_n$  é o conormal ao bordo do gráfico de  $u_n$ .*

(i) *Se  $\{u_n\}$  diverge para infinito em subconjuntos compactos de  $A$  e permanece uniformemente limitada em subconjuntos compactos de  $D$  então,*

$$\lim_{n \rightarrow \infty} \int_A (\nu_3)_n ds = \|A\|.$$

(ii) *Se  $\{u_n\}$  diverge para infinito em subconjuntos compactos de  $D$  e permanece uniformemente limitada em compactos de  $A$  então,*

$$\lim_{n \rightarrow \infty} \int_A (\nu_3)_n ds = -\|A\|.$$

*Prova.*

(i) Seja  $\delta > 0$  pequeno fixo e  $A_\delta \subset A$  arco formado pelos pontos que estão a uma distância maior que  $\delta$  do bordo de  $A$ . Como  $u_n \xrightarrow{n \rightarrow \infty} \infty$  em  $A_\delta$ , temos que, para  $n$  suficientemente grande,  $(\nu_3)_n > 0$  em  $A_\delta$ . Daí,  $|(\nu_3)_n| = (\nu_3)_n$ .

Pela Afirmação (4.2),  $|(\nu_3)_n| < 1$ . O que significa, nesse caso, que  $(\nu_3)_n < 1$ .

Assim,

$$\lim_{n \rightarrow \infty} \int_{A_\delta} (\nu_3)_n ds \leq \lim_{n \rightarrow \infty} \int_{A_\delta} 1 ds = \|A_\delta\|. \quad (4.3)$$

Por outro lado, para cada  $n$ , o plano tangente ao gráfico de  $u_n$  em pontos cuja projeção vertical pertence a  $A_\delta$ , é quase vertical quando  $n \rightarrow \infty$ .

Então, para todo  $\epsilon > 0$  pequeno e para  $n$  grande, vale  $|(\nu_3)_n| > (1 - \epsilon)$  em  $A_\delta$ .

Conseqüentemente,

$$\lim_{n \rightarrow \infty} \int_{A_\delta} (\nu_3)_n ds \geq \lim_{n \rightarrow \infty} \int_{A_\delta} (1 - \epsilon) ds.$$

Fazendo  $\epsilon \rightarrow 0$ , temos

$$\lim_{n \rightarrow \infty} \int_{A_\delta} (\nu_3)_n ds \geq \|A_\delta\|. \quad (4.4)$$

Agora, fazendo  $\delta \rightarrow 0$ ,  $A_\delta \rightarrow A$  e usando (4.3) e (4.4), encontramos

$$\lim_{n \rightarrow \infty} \int_A (\nu_3)_n ds = \|A\|.$$

(ii) Usaremos  $A_\delta$  como definido na prova de (i).

Como  $u_n$  permanece limitada em  $A_\delta$  e é ilimitada em todo compacto  $K \subset D$ , temos que, para  $n$  suficientemente grande,  $(\nu_3)_n < 0$ , sobre  $A_\delta$ .

Daí,  $|(\nu_3)_n| = -(\nu_3)_n$ .

Novamente, sendo  $A_\delta$  arco geodésico,  $|(\nu_3)_n| < 1$  em  $A_\delta$ , isto é, para  $n$  grande,  $-(\nu_3)_n < 1$ .

Então,

$$\lim_{n \rightarrow \infty} \int_{A_\delta} (\nu_3)_n ds \geq \int_{A_\delta} -1 ds = -\|A_\delta\|. \quad (4.5)$$

Também, o fato de  $u_n$  divergir para  $\infty$  em todo compacto  $K \subset D$  e permanecer limitada em  $A_\delta$  garante que em  $A_\delta$ ,  $|(\nu_3)_n| > 1 - \epsilon$ ,  $\forall \epsilon > 0$  pequeno e  $n$  grande.

Daí,  $(\nu_3)_n < -(1 - \epsilon)$ .

Logo,

$$\lim_{n \rightarrow \infty} \int_{A_\delta} (\nu_3)_n ds \leq \lim_{n \rightarrow \infty} \int_{A_\delta} -(1 - \epsilon) ds.$$

Fazendo  $\epsilon \rightarrow 0$ ,

$$\lim_{n \rightarrow \infty} \int_{A_\delta} (\nu_3)_n ds \leq -\|A_\delta\|. \quad (4.6)$$

Agora, por (4.5) e (4.6), fazendo  $\delta \rightarrow 0$ ,

$$\lim_{n \rightarrow \infty} \int_A (\nu_3)_n ds = -\|A\|.$$

■

**Observação 4.5.** *Pelo mesmo argumento usado na prova do Lema 4.2 (ii), garantimos que o seguinte fato vale:*

*Sejam  $u_n : D \rightarrow \mathbb{R}$  soluções mínimas e  $\mathcal{V}$  subconjunto compacto de  $D$ .*

*Se  $u_n$  diverge uniformemente em  $\mathcal{V}$  e converge uniformemente em  $D - \mathcal{V}$  então, em todo arco geodésico  $A \subset \partial\mathcal{V}$ ,*

$$\lim_{n \rightarrow \infty} \int_A (\nu_3)_n ds = - \|A\|.$$

Voltemos a prova do Teorema.

**CASO 2.**  $\partial D$  contém arcos geodésicos  $A_1, \dots, A_k$  e arcos estritamente convexos  $C_1, \dots, C_h$ . Vamos supor que as funções  $f^s : C_s \rightarrow \mathbb{R}$  são contínuas e positivas.

Sejam  $n \in \mathbb{R}$  e  $u_n : D \rightarrow \mathbb{R}$  solução mínima com o seguinte bordo:

$$\bigcup_{i,s} A_i(n) \cup \text{graf}\{\min(n, f^s)\} \cup V,$$

onde  $V$  é o conjunto dos segmentos verticais que ligam os pontos finais dos arcos anteriores.

A existência de tal  $u_n$  é consequência do Teorema de Rado em  $M^2 \times \mathbb{R}$  (Teorema 2.1, Cap. 2), pois  $D$  é geodesicamente convexo e  $\partial\{\text{graf } u_n\}$  é um *gráfico de Nitsche*.

**Afirmção 4.4.** *Seja  $\mathcal{U} \subset \text{int } D$  o conjunto dos pontos  $p \in \text{int } D$  onde  $\lim_{n \rightarrow \infty} u_n(p) < \infty$ . Então,  $\mathcal{U}$  é um conjunto aberto.*

Para provarmos essa afirmação, precisaremos do seguinte resultado:

**Lema 4.3.** *Seja  $p \in D$  tal que  $u_n(p) < c, \forall n$ , onde  $c$  é uma constante independente de  $n$ . Então,  $|\nabla u_n(p)|$  é uniformemente limitado.*

*Prova.*

Sejam  $B = B(p, \epsilon)$  bola geodésica centrada em  $p$ ,  $\epsilon > 0$  pequeno e  $\mathcal{F}_\theta$  uma família de superfícies de Scherk  $v_\theta = v_\theta(P_1, P_2, P_3)$  que assumem valores  $0, 0$  e  $+\infty$  no bordo do triângulo geodésico  $T_\theta$  cujos vértices  $P_1, P_2, P_3$  estão contidos em  $\partial B$  e são escolhidos de modo que  $p \in T_\theta$  e  $v_\theta(p) > c$ , onde  $c$  é a constante dada pelo Lema.

Além disso, os três pontos percorrem continuamente  $2\pi$  sobre  $\partial D$  e  $v_{2\pi} = v_0$ .

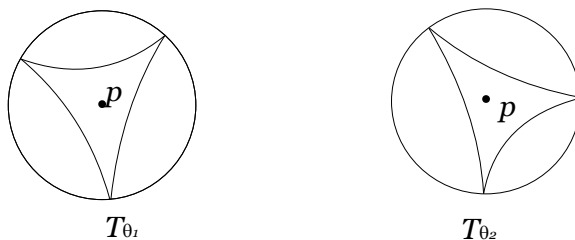


Figura 4.6: Triângulos  $T_{\theta_1}$  e  $T_{\theta_2}$

Exigimos ainda que o lado do triângulo  $T_\theta$  onde  $v_\theta$  assume o valor  $\infty$  esteja suficientemente próximo de  $p$  num sentido que será precisado a seguir.

As superfícies mínimas estáveis variam continuamente com respeito aos seus valores no bordo. Para esse resultado ver [RS], p.408.

Então,  $v_\theta$  varia continuamente com  $\theta$ ,  $0 \leq \theta \leq 2\pi$ .

Agora, para  $n \in \mathbb{R}$  fixo, sejam  $x, y$  coordenadas locais em  $D \subset M(0)$  tais que :

- $p$  é origem deste sistema de coordenadas,
- $\frac{\partial u_n}{\partial x}(p) > 0$ ,
- $\frac{\partial u_n}{\partial y}(p) = 0$ .

Denotemos  $u_n = u$ .

A escolha das coordenadas acima significa que o plano tangente ao gráfico de  $u$  no ponto  $(p, u(p))$  contém o eixo  $y$ , ou ainda, que o gráfico de  $u$  intersecta  $M^2 \times \{u(p)\}$  em uma curva tangente ao eixo  $y$ .

Como  $v_\theta$  varia continuamente em  $\theta$ , fazendo  $\theta$  variar entre 0 e  $2\pi$ , existe

$$v_0 = v_{\theta_0} \in \mathcal{F}_\theta \quad \text{tal que} \quad \frac{\partial v_0}{\partial y}(p) = \frac{\partial u}{\partial y}(p) = 0 .$$

Afirmamos que

$$\frac{\partial v_0}{\partial x}(p) > \frac{\partial u}{\partial x}(p) .$$

Suponhamos, por absurdo, que  $\frac{\partial v_0}{\partial x}(p) \leq \frac{\partial u}{\partial x}(p)$  .

Isto significa que a inclinação do plano tangente no ponto  $(p, v_0(p))$  em relação a horizontal é menor que a inclinação do plano tangente em  $(p, u(p))$  com a horizontal.

Para  $\theta \in [0, 2\pi]$  fixo, seja  $\mathcal{F}_{\theta t}$  outra família de superfícies de Scherk  $v_{\theta t}$ ,  $0 \leq t \leq 1$ , onde  $v_{\theta t}$  é construída trocando o lado do triângulo  $T_\theta$  onde  $v_\theta \rightarrow \infty$  por uma geodésica mais próxima de  $p$ .

A exigência citada anteriormente para os triângulos iniciais  $T_\theta$  é que eles são escolhidos de modo que quando fazemos essa deformação  $v_{\theta t}$  de  $v_\theta$ , tenhamos  $v_{\theta t}(p) > c$ ,  $\forall t$ .

Essas deformações vão de  $t = 0$ ;  $v_{\theta 0} = v_\theta$  até uma posição  $v_{\theta 1}$  tal que o ângulo  $\phi_1$  entre o plano tangente de  $v_{\theta 1}$  em  $p$  com a horizontal é maior que o ângulo entre o plano tangente a  $u$  em  $p$  com a horizontal.

Observemos que o ângulo  $\phi_t$  entre a horizontal e o plano tangente no ponto  $(p, v_{\theta t}(p))$  varia continuamente quando o lado do triângulo onde  $v_{\theta t} \rightarrow \infty$  se aproxima de  $p$ . Assim, para algum  $t_0$  temos  $\frac{\partial v_{\theta t_0}}{\partial x}(p) = \frac{\partial u}{\partial x}(p)$ .

Agora, variando  $\theta$ , encontramos superfície de Scherk  $v_{\theta t}$  tal que

$$\begin{aligned} \frac{\partial v_{\theta t}}{\partial x}(p) &= \frac{\partial u}{\partial x}(p) \\ \frac{\partial v_{\theta t}}{\partial y}(p) &= 0 = \frac{\partial u}{\partial y}(p). \end{aligned} \tag{4.7}$$

Após translação vertical para cima de  $u$  até que tenhamos  $v_{\theta t}(p) = u(p)$ , as relações (4.7) dizem que  $v_{\theta t}$  e  $u$  são tangentes no ponto  $q = (p, v_{\theta t}(p)) = (p, u(p))$ .

Pelo Teorema (Descrição Local para a interseção de superfícies mínimas), p. 18, garantimos que existem ao menos quatro curvas contidas na interseção entre esses gráficos que se encontram em  $q$  em ângulos iguais.

Vejamos o que ocorre com estas curvas.

Se duas delas se encontram formando um ciclo  $\gamma$  então,  $\gamma$  é bordo de dois discos mínimos contidos nas duas superfícies. O Princípio de Máximo Clássico diz que tais discos são iguais. Absurdo.

Como  $u$  é gráfico sobre  $D$ , as curvas que se encontram em  $q$  têm altura limitada.

Além disso,  $u$  é positiva. Portanto, as curvas não intersectam os lados do triângulo  $T_{\theta t}$  onde  $v_{\theta t}$  é zero.

Assim, as curvas intersectam as retas verticais contidas em  $v_{\theta t}$ .

Existem ao menos quatro curvas e os segmentos verticais são dois.

Então, ao menos duas curvas intersectam o mesmo segmento. Como  $u$  é gráfico sobre  $D$ , o ponto de interseção é o mesmo e as curvas formam novamente um ciclo.

Absurdo.

Portanto,  $\frac{\partial v_{\theta t}}{\partial x}(p) > \frac{\partial u}{\partial x}(p)$ . E, como já tínhamos  $\frac{\partial v_0}{\partial y}(p) = 0 = \frac{\partial u}{\partial y}(p)$ , temos  $|\nabla u(p)| \leq |\nabla v_0(p)|$ .

Ou seja, para cada  $u_n$ , encontramos uma  $v_{\theta_n} \in \mathcal{F}_\theta$ , superfície de Scherk, tal que

$$|\nabla u(p)| \leq |\nabla v_0(p)| .$$

Mas,  $\mathcal{F}_\theta$  é uma família compacta e  $|\nabla v_\theta|$  é uma função contínua. Então, existe uma superfície de Scherk  $v \in \mathcal{F}_\theta$  tal que  $|\nabla v(p)| \geq |\nabla v_\theta(p)|$ ,  $\forall \theta$  e o Lema está demonstrado. ■

Provemos agora, que o conjunto  $\mathcal{U} \subset \text{int } D$ , onde  $\lim_{n \rightarrow \infty} u_n(p) < \infty$  é aberto.

Seja  $p \in \mathcal{U}$ . Então,  $u_n(p) < c$ ,  $c$  constante independente de  $n$ . Por estimativas de curvatura para superfícies mínimas estáveis devido a R. Schoen (ver p. 33), existe uma vizinhança do ponto  $p_n = (p, u_n(p))$  onde o gráfico de  $u_n$  é gráfico de gradiente limitado sobre o disco  $D(p_n, R) \subset T_{p_n}(u_n(D))$ , cujo raio  $R$  independe de  $n$ .

Mas,  $|\nabla u_n(p)|$  é uniformemente limitado, pelo Lema anterior . Então, existe disco de raio fixo, contido na projeção de cada  $D(p_n, R)$  no plano horizontal e  $u_n$  é limitada nesse disco.

Portanto, para todo ponto  $p \in D$  onde  $u_n$  é uniformemente limitada, encontramos um aberto centrado em  $p$  onde  $u_n$  também é uniformemente limitada, ou seja,  $\mathcal{U}$  é aberto e a prova da Afirmação está concluída. ■

Pela Observação 4.3, a sequência de funções  $\{u_n\}$  é uniformemente limitada em subconjuntos compactos contidos em cada convex-hull aberto  $\mathcal{C}(C_s)$ ,  $s = 1, \dots, h$ .

Portanto, passando para uma subsequência,  $\{u_n\}$  converge sobre subconjuntos compactos de um aberto  $\mathcal{U} \subset D$  tal que  $\bigcup_{s=1}^h \mathcal{C}(C_s) \subset \mathcal{U}$  .

Além disso,  $\{u_n\}$  diverge uniformemente sobre subconjuntos compactos do fechado  $\mathcal{V} = D - \mathcal{U}$  e  $u$  é função contínua com valores em  $\mathbb{R} \cup \infty$ .

O lema a seguir mostra que, quando  $\mathcal{V}$  não é vazio,  $\partial \mathcal{V}$  tem uma estrutura muito especial.

**Lema 4.4.** *Com a notação anterior, temos:*

- (i)  $\partial\mathcal{V}$  é formado de cordas geodésicas de  $D$  e partes do bordo de  $D$ .
- (ii) Duas cordas de  $\partial\mathcal{V}$  não podem ter um ponto final em comum.
- (iii) Os pontos finais das cordas de  $\partial\mathcal{V}$  pertencem ao conjunto dos vértices dos arcos geodésicos  $A_i$ .
- (iv) Uma componente de  $\mathcal{V}$  não pode consistir somente de uma corda interior de  $D$ .

*Prova.* Observemos inicialmente que toda componente conexa  $\hat{\mathcal{U}} \subset \mathcal{U}$  é convexa.

De fato,  $\hat{\mathcal{U}}$  conexa e aberta garante que dados dois pontos  $P_1, P_2 \in \hat{\mathcal{U}}$ , existe geodésica  $\gamma \subset \hat{\mathcal{U}}$ ,  $C^1$  – por partes, ligando  $P_1$  a  $P_2$ .

Seja  $\mathcal{C}(\gamma)$  convex-hull (aberto) de  $\gamma$ . Após pequeno deslocamento de  $\gamma$  podemos supor  $\{P_1, P_2\} \subset \mathcal{C}(\gamma)$ .

Então, pela Obsevação 4.3,  $u_n$  é uniformemente limitada em todo compacto  $K \subset \mathcal{C}(\gamma)$ .

Em particular, sendo  $\mathcal{C}(\gamma)$  convexo, ele contém a geodésica minimizante ligando  $P_1$  a  $P_2$ . Ou seja,  $\hat{\mathcal{U}}$  é convexo.

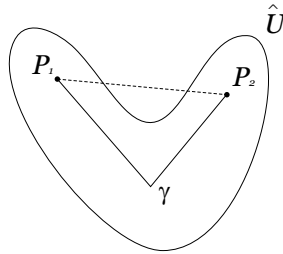


Figura 4.7:  $\hat{\mathcal{U}}$  é convexo

(i) Suponhamos, por absurdo, que existe  $C$  arco estritamente convexo de  $D$ , contido em  $\partial\mathcal{V}$ .

Então, pela Afirmação 4.1,  $u_n$  é ilimitada em  $\mathcal{C}(C)$ .

Por outro lado, como cada componente conexa de  $\mathcal{U}$  é convexa, temos que  $\mathcal{C}(C)$  está contida em  $\mathcal{U}$  e, conseqüentemente,  $u_n$  é limitada em  $\mathcal{C}(C)$ . Contradição.

O mesmo argumento prova que os vértices de  $\partial\mathcal{V}$  não podem ser interiores a  $D$ . Assim, (i) está provado.

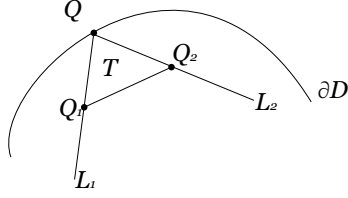


Figura 4.8: (ii)

(ii) Suponhamos, por absurdo, que existem  $L_1, L_2$  arcos de  $\partial\mathcal{V}$  tendo um ponto final  $q \in \partial D$  em comum.

Sejam  $Q_1 \in L_1$  e  $Q_2 \in L_2$  tais que o triângulo  $T$  com vértices  $Q, Q_1, Q_2$  pertence a  $D$ .

Pela Afirmação 4.3,

$$\int_{\partial T} (\nu_3)_n ds = 0,$$

onde  $(\nu_3)_n$  é a terceira componente do vetor unitário conormal exterior ao bordo do gráfico  $u_n(T)$ .

Ou seja,

$$\lim_{n \rightarrow \infty} \left[ \int_{\overline{Q_1 Q}} (\nu_3)_n ds + \int_{\overline{Q Q_2}} (\nu_3)_n ds \right] = - \lim_{n \rightarrow \infty} \int_{\overline{Q_2 Q_1}} (\nu_3)_n ds. \quad (4.8)$$

O triângulo  $T$  pode estar ou em  $\mathcal{U}$  ou em  $\mathcal{V}$ .

Suponhamos que  $T \in \mathcal{U}$ .

Pelo Lema 4.1(i), observando que  $\overline{Q_1, Q}$  e  $\overline{Q Q_2}$  são arcos geodésicos por(i), temos

$$\lim_{n \rightarrow \infty} \int_{\overline{Q_1 Q} \cup \overline{Q Q_2}} (\nu_3)_n ds = \|\overline{Q_1 Q}\| + \|\overline{Q Q_2}\|.$$

Por outro lado,  $\overline{Q_2 Q_1}$  é arco geodésico em  $D$ . Então,  $|(\nu_3)_n| < 1$ , ou seja,  $-(\nu_3)_n < 1$ , em  $\overline{Q_2 Q_1}$ .

Portanto, (4.8) implica

$$\|\overline{Q_1 Q}\| + \|\overline{Q Q_2}\| < \|\overline{Q_2 Q_1}\|.$$

Absurdo, pois  $T$  é triângulo.

Suponhamos agora,  $T \subset \mathcal{V}$ . Neste caso, (4.8) também vale.

Usando Observação 4.5, temos que

$$\lim_{n \rightarrow \infty} \left[ \int_{\overline{Q_1 Q}} (\nu_3)_n ds + \int_{\overline{Q Q_2}} (\nu_3)_n ds \right] = - (\|\overline{Q_1 Q}\| + \|\overline{Q Q_2}\|).$$

Novamente  $\overline{Q_1 Q}$  arco geodésico implica  $(\nu_3)_n < \|(\nu_3)_n\| < 1$ , ou seja,  $-(\nu_3)_n > -1$ . Daí, por (4.8), temos

$$-\|\overline{Q_1 Q}\| - \|\overline{Q Q_2}\| > -\|\overline{Q_2 Q_1}\|.$$

Contradição.

(iii) Seja  $C \subset \partial \mathcal{V}$  arco geodésico de  $D$  com ponto final  $P \in \partial D$ .

Temos três possibilidades a eliminar:

1.  $P \in C_s$ , para algum  $s$ .

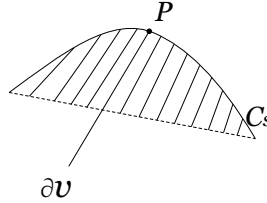


Figura 4.9: (iii) - Caso 1

Nesse caso, teríamos subarco  $C' \subset C \subset \partial \mathcal{V}$  contido em  $\mathcal{C}(C_s)$ , onde  $u_n$  é limitada, absurdo.

2.  $P \in C_{s_1} \cap C_{s_2}$ .

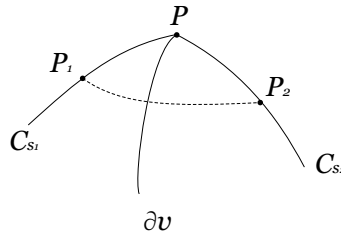


Figura 4.10: (iii) - Caso 2

Sejam  $P_1 \in C_{s_1}$  e  $P_2 \in C_{s_2}$  pontos a uma distância  $\epsilon > 0$  pequeno do ponto  $P$ .

Pela Observação 4.3 garantimos que  $u$  é limitada no convex-hull do arco estritamente convexo  $\widehat{P_1P_2}$  ( $C_1$  por partes), que contém  $P$ .

Novamente, temos subarco  $C' \subset C$  contido em  $\mathcal{C}(\widehat{P_1P_2})$ . Absurdo.

3.  $P \in A_i$ , para algum  $i$ .

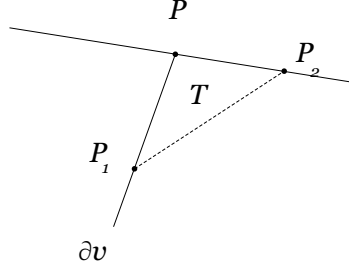


Figura 4.11: (iii) - Caso 3

Seja  $T$  triângulo contido em  $D$  com vértices  $P, P_1, P_2$ , onde  $P_1 \in \partial\mathcal{V}$  e  $P_2 \in A_i$ . Temos, pela Observação 4.4,

$$0 = \lim_{n \rightarrow \infty} \int_{\partial T} (\nu_3)_n ds = \lim_{n \rightarrow \infty} \int_{\overline{P_1P}} (\nu_3)_n ds + \int_{\overline{PP_2}} (\nu_3)_n ds + \int_{\overline{P_2P_1}} (\nu_3)_n ds .$$

Se  $T \in \mathcal{U}$ , usando Lema 4.1(i) e o fato de  $|(\nu_3)_n| < 1$  em  $\overline{P_2P_1}$ , temos

$$\|\overline{P_1P}\| + \|\overline{PP_2}\| \leq \|\overline{P_2P_1}\|.$$

Absurdo, pois  $T$  é um triângulo.

Se  $T \in \mathcal{V}$ , usando novamente a Observação 4.4 e  $(\nu_3)_n > -1$  em  $\overline{P_1P_2}$ , temos

$$-\|\overline{P_1P}\| - \|\overline{PP_2}\| \geq -\|\overline{P_1P_2}\|.$$

Absurdo.

Então, a única possibilidade é  $P$  ser vértice de algum arco geodésico  $A_i$ , como queríamos.

(iv) Pelo item (iii) sabemos que os pontos finais de  $\mathcal{V}$  estão entre os extremos dos arcos  $A_i$ .

Então, é possível construir triângulo  $T \subset \mathcal{U}$  tal que  $P$ , o ponto extremo de  $\mathcal{V}$  seja vértice de  $T$ .

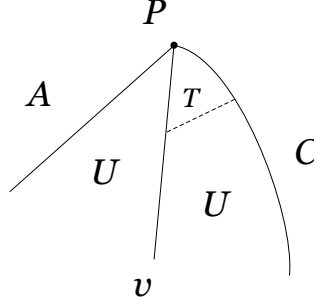


Figura 4.12: (iv)

Assim, conseguimos uma contradição como feito na prova de (ii).  
O Lema então está demonstrado. ■

Afirmamos que  $\mathcal{V} = \emptyset$ .

Provaremos isto por contradição. Suponhamos que  $\forall \mathcal{P}$  polígono satisfazendo as hipóteses do Teorema, temos  $2 \cdot \alpha < \gamma$  mas,  $\nexists u$ .

Para todo  $s = 1, \dots, h$ ,  $\mathcal{C}(C_s)$  está contido em  $\mathcal{U}$  e, pelo Lema 4.4, cada componente conexa de  $\mathcal{V}$  é limitada por um polígono geodésico  $\mathcal{P}$ , cujos vértices estão entre os pontos finais dos arcos  $A_i$ .

Para tal polígono geodésico  $\mathcal{P}$ , denotemos por  $\hat{A}_i$  os arcos  $A_i \subset \partial D$  que pertencem a  $\mathcal{P}$ ,  $\gamma =$  perímetro de  $\mathcal{P}$  e  $\alpha = \sum_i \|\hat{A}_i\|$ .

Mas, para cada  $u_n$ , temos, pela Afirmação 4.3,

$$\int_{\mathcal{P}} (\nu_3)_n ds = 0.$$

Daí,

$$\int_{\cup_i \hat{A}_i} (\nu_3)_n ds + \int_{\mathcal{P} - \cup_i \hat{A}_i} (\nu_3)_n ds = 0. \quad (4.9)$$

Pela Observação 4.5, garantimos que

$$\lim_{n \rightarrow \infty} \int_{\mathcal{P} - \cup_i \hat{A}_i} (\nu_3)_n ds = -(\gamma - \alpha).$$

Por outro lado, para todo  $n$ ,  $|(\nu_3)_n| < 1$  em arcos geodésicos. Assim,

$$\begin{aligned} \lim_{n \rightarrow \infty} \int_{\cup_i \hat{A}_i} (\nu_3)_n ds &\leq \lim_{n \rightarrow \infty} \int_{\cup_i \hat{A}_i} |(\nu_3)_n| ds \\ &\leq \sum_i \|\hat{A}_i\| = \alpha. \end{aligned}$$

Portanto, usando (4.9), temos

$$\alpha \geq \lim_{n \rightarrow \infty} \int_{\cup_i \hat{A}_i} (\nu_3)_n ds = - \lim_{n \rightarrow \infty} \int_{\mathcal{P} - \cup_i \hat{A}_i} (\nu_3)_n ds = \gamma - \alpha,$$

ou seja,  $2 \cdot \alpha \geq \gamma$ . Contradição.

Assim,  $\mathcal{V} = \emptyset$  e, conseqüentemente, a sequência  $\{u_n\}$  é limitada uniformemente em todo compacto  $K \subset D$ .

Concluimos então, que  $\{u_n\}$  converge para função  $u$  definida em  $D$ , com os valores desejados no bordo e o *Caso 2* está provado.

**CASO 3.**  $\partial D$  contém arcos geodésicos  $A_1, \dots, A_k$  e arcos convexos, não estritamente convexos,  $C_1, \dots, C_h$ . Novamente as funções  $f^s : C_s \rightarrow \mathbb{R}$  são contínuas e positivas.

**Observação 4.6.** *A diferença fundamental entre os Casos 2 e 3 é que no Caso 3 temos  $C_s$  arco geodésico e, conseqüentemente,  $\mathcal{C}(C_s) = C_s$ . Assim, não é claro que as funções  $u_n$  permanecem limitadas em algum aberto  $\mathcal{U} \subset D$ .*

**Observação 4.7.** *Como conseqüência dos arcos  $C_s$  serem geodésicos, temos que  $\partial D$  é polígono geodésico. Para tal polígono, não exigiremos que o conjunto de seus vértices esteja contido no conjunto dos pontos finais dos arcos  $A_i$  e  $B_j$  e usaremos novamente a notação  $\alpha = \sum_i \|A_i\|$  e  $\gamma = \text{perímetro } \mathcal{P} = \|\partial D\|$ .*

*Prova do Caso 3.* Supondo que para todo polígono  $\mathcal{P} \subset D$  satisfazendo as hipóteses do Teorema temos  $2 \cdot \alpha < \gamma$ , provaremos que  $u$  existe.

Novamente consideramos  $u_n : D \rightarrow \mathbb{R}$  solução mínima tal que

$$u_n|_{A_i} = n, \quad u_n|_{C_s} = \min(n, f^s),$$

como feito no *Caso 2*.

Inicialmente, provaremos que o conjunto  $\mathcal{U} \subset D$ , onde  $\{u_n\}$  é uniformemente limitada, é não-vazio.

Começaremos mostrando que  $\{u_n\}$  é limitada em algum ponto de  $D$ .

Suponhamos, por absurdo, que isso não é verdade. Ou seja, que o conjunto  $\mathcal{V} = D - \mathcal{U}$  é igual a  $D$ .

Aplicando a Afirmação 4.3 a  $\partial D$ , temos, para cada  $u_n$ ,

$$\int_{\partial D} (\nu_3)_n ds = 0.$$

Ou seja,

$$\int_{\cup_i A_i} (\nu_3)_n ds = - \int_{\cup_s C_s} (\nu_3)_n ds \quad (4.10)$$

Por hipótese,  $\{u_n\}$  é limitada em cada  $C_s$ . Então, utilizando a Observação 4.5, temos

$$\begin{aligned} \lim_{n \rightarrow \infty} \int_{\cup_s C_s} (\nu_3)_n ds &= - \sum_{s=1}^h \|C_s\| \\ &= -(\gamma - \alpha), \end{aligned} \quad (4.11)$$

onde  $\gamma =$  perímetro de  $\partial D$  e  $\alpha = \sum_{i=1}^n \|A_i\|$ .

Por outro lado,  $|(\nu_3)_n| < 1$  em cada  $A_i$ . Logo,

$$\lim_{n \rightarrow \infty} \int_{\cup_i A_i} (\nu_3)_n ds \leq \sum_{i=1}^n \|A_i\| = \alpha, \quad (4.12)$$

Substituindo (4.11) e (4.12) em (4.10), temos

$$\alpha \geq \gamma - \alpha.$$

Ou ainda,  $2 \cdot \alpha \geq \gamma$ . Absurdo, pois  $\partial D$  é um polígono que satisfaz as hipóteses do Teorema.

Logo, existe um ponto  $p \in D$  tal que  $u_n(p) < c, \forall n$ , onde  $c$  é constante independente de  $n$ .

Pelo Lema 4.3, temos que  $\exists$  constante  $c$  independente de  $n$ ;  $|\nabla_n(p)| \leq c$  e consequentemente, existe aberto  $\mathcal{U} \subset D$  onde  $u_n$  é uniformemente limitada.

Agora, usamos o mesmo argumento feito na prova do Caso 2, para garantir que  $\mathcal{U} = D$ .

Portanto, o *Caso 3* está demonstrado.

**CASO 4.** Provaremos que as condições  $2 \cdot \alpha < \gamma$  e  $2 \cdot \beta < \gamma$  são suficientes para a existência de  $u$  quando  $\partial D$  contém arcos geodésicos  $A_1, \dots, A_k, B_1, \dots, B_l$  e arcos convexos  $C_1, \dots, C_h$ , com  $h \geq 1$ . As funções  $f^s : C_s \rightarrow \mathbb{R}$  são contínuas.

*Prova.* Com estas hipóteses, o *Caso 3* garante que existem soluções mínimas

$$u^+, u^- : D \rightarrow \mathbb{R},$$

tais que

$$u^+|_{A_i} = +\infty, \quad u^+|_{B_j} = 0, \quad u^+|_{C_s} = \max\{0, f^s\};$$

$$u^-|_{A_i} = 0, \quad u^-|_{B_j} = -\infty, \quad u^-|_{C_s} = \min\{0, f^s\}.$$

Para cada  $C_s$ , definimos

$$(f^s)_n = \begin{cases} -n & , \text{ se } f^s < -n; \\ f^s & , \text{ se } |f^s| \leq n; \\ n & , \text{ se } f^s > n. \end{cases}$$

Seja  $u_n : D \rightarrow \mathbb{R}$  solução mínima tal que

$$u_n|_{A_i} = n, \quad u_n|_{B_j} = -n, \quad u_n|_{C_s} = (f^s)_n.$$

Como os valores de  $u_n$  em  $\partial D$  são limitados, sua existência é garantida pelo Teorema de Rado em  $M^2 \times \mathbb{R}$  (ver p. 16), aplicada ao *gráfico de Nitsche* formado pela união das curvas  $A_i(n), B_j(-n), (f^s)_n$  e os segmentos verticais ligando os pontos finais destes arcos.

Claramente observamos que nos arcos  $A_i, B_j$  temos

$$u^- \leq u_n \leq u^+.$$

Vamos estabelecer estas mesmas relações em cada  $C_s$ , ou seja vamos mostrar que

$$\min\{0, f^s\} \leq (f^s)_n \leq \max\{0, f^s\}. \quad (4.13)$$

É sempre verdade que

$$\min\{0, f^s\} \leq f^s \leq \max\{0, f^s\}.$$

Então, onde  $(f^s)_n = f^s$ , esta relação diz que (4.13) vale. Agora, quando  $(f^s)_n = -n$ , temos

$$f^s < -n < 0$$

e daí,

$$\begin{cases} \max\{0, f^s\} = 0, \\ \min\{0, f^s\} = f^s. \end{cases}$$

Ou seja,

$$\min\{0, f^s\} = f^s < \max\{0, f^s\}$$

significa que (4.13) vale.

Por outro lado,  $(f^s)_n = n$  implica

$$f^s > n > 0.$$

Portanto,

$$\begin{cases} \max\{0, f^s\} = f^s, \\ \min\{0, f^s\} = 0. \end{cases}$$

E, nesse caso, podemos escrever  $0 < n < f^s$  como

$$\min\{0, f^s\} < f^s = \max\{0, f^s\}.$$

Então, de fato, também em cada  $C_s$  vale

$$u^- \leq u_n \leq u^+.$$

Pelo Princípio do Máximo Geral, temos

$$u^- \leq u_n \leq u^+ \text{ em } D.$$

Portanto, a sequência  $\{u_n\}$  é uniformemente limitada sobre subconjuntos compactos de  $D$  (pois  $u^+$ ,  $u^-$  são).

Então, existe subsequência convergindo para uma solução mínima  $u$  que assume os valores desejados no bordo, e o *Caso 4* está provado.

**CASO 5.** Provaremos que  $\alpha = \beta$  é condição suficiente para a existência de  $u$  quando  $\partial D$  contém somente arcos geodésicos  $A_1, \dots, A_k, B_1, \dots, B_l$ .

Observemos que nesse caso, um possível polígono  $\mathcal{P}$  satisfazendo as hipóteses do Teorema é  $\mathcal{P} = \partial D$ . Assim, devemos ter o número de arcos  $A_i$  igual ao número de arcos  $B_j$ , digamos  $k$ .

Suponhamos  $\alpha = \beta$ .

Para a prova da existência de  $u$  precisaremos construir alguns conjuntos e soluções mínimas auxiliares.

Com os mesmos argumentos utilizados na prova do *Caso 1* garantimos que existe  $v_n : D \rightarrow \mathbb{R}$  solução mínima tal que

$$v_n|_{A_i} = n \quad v_n|_{B_j} = 0.$$

Para cada  $c \in ]0, n[$ , consideramos os seguintes subconjuntos abertos de  $D$ :

$$E_c = \{v_n > c\} \cap D,$$

$$F_c = \{v_n < c\} \cap D.$$

Seja  $E_c^i$  a componente de  $E_c$  cujo fecho contém o arco  $A_i$  e seja  $F_c^i$  a componente de  $F_c$  cujo fecho contém o arco  $B_j$ .

Pelo Princípio do Máximo,  $E_c = \bigcup_{i=1}^k E_c^i$  e  $F_c = \bigcup_{i=1}^k F_c^i$ .

Escolhemos  $c$  próximo de  $n$  de modo que os  $E_c^i$  são disjuntos e definimos

$$\mu(n) = \limsup\{c \in ]0, n[; E_c^i \cap E_c^j = \emptyset, i \neq j\}.$$

Pela definição de  $\mu(n)$  existe ao menos um par  $i, j$  tal que,

$$E_{\mu(n)}^i \cap E_{\mu(n)}^j \neq \emptyset.$$

Então, dado qualquer  $F_{\mu(n)}^i$ , existe algum  $F_{\mu(n)}^j$  tal que,

$$F_{\mu(n)}^i \cap F_{\mu(n)}^j = \emptyset .$$

Para cada  $n$ , definimos a seguinte solução mínima em  $D$ :

$$u_n := v_n - \mu(n) .$$

Provaremos que a sequência  $\{u_n\}$  é uniformemente limitada em todo  $K \subset D$  compacto.

Sejam  $u_i^+$  e  $u_i^-$  soluções mínimas em  $D$  com os seguintes valores no bordo:

$$u_i^+ \Big|_{A_i} = \infty , \quad u_i^+ \Big|_{\partial D - A_i} = 0 ,$$

$$u_i^- \Big|_{B_j} = -\infty , \quad i \neq j , \quad u_i^- \Big|_{\partial D - \cup_{j \neq i} B_j} = 0 ,$$

Para todo  $i, \dots, k$ , as funções  $u_i^+$ ,  $u_i^-$  existem pelos *Casos anteriores*.

Para todo  $z \in D$  definimos:

$$u^+(z) = \max_{1 \leq i \leq k} \{u_i^+(z)\} ,$$

$$u^-(z) = \min_{1 \leq i \leq k} \{u_i^-(z)\} .$$

Afirmamos que  $u^- \leq u_n \leq u^+$  em  $D$ .

Primeiro, seja  $p \in D$  tal que  $u_n(p) > 0$ . Então,  $p \in E_{\mu(n)}^i$  para algum  $i$ .

Em  $\partial E_{\mu(n)}^i$ ,  $u_n \leq u_i^+$  pois,

$$\partial E_{\mu(n)}^i = \{v_n = \mu(n)\} , \quad \text{ou seja, } u_n \Big|_{\partial E_{\mu(n)}^i} = 0$$

e  $u_i^+ \geq 0$  em  $D$ .

Logo,  $u_n \leq u_i^+$  em  $E_{\mu(n)}^i$ .

Como  $u_i^+ \leq u^+$  em  $D$ , temos  $u_n(p) \leq u^+(p)$ .

Por outro lado,  $u^- \leq 0$  em  $D$  garante que  $u^-(p) \leq u_n(p)$ .

Agora, seja  $p \in D$  tal que  $u_n(p) < 0$ . Então,  $p \in F_{\mu(n)}^j$ , para algum  $j$ .

Em  $\partial F_{\mu(n)}^j$ ,  $u_n \geq u_i^-$  pois  $u_n \Big|_{\partial F_{\mu(n)}^j} = 0$  e  $u_j^- \leq 0$  em  $D$ .

Logo,  $u_n \geq u_j^-$  em  $F_{\mu(n)}^j$  e, conseqüentemente,  $u_n(p) \geq u_j^-(p) \geq u^-(p)$ . E, como  $u^+ \geq 0$  em  $D$ ,  $u^+(p) \geq u_n(p)$ .

Portanto,  $u^- \leq u_n \leq u^+(p)$  em  $D$  e daí,  $\{u_n\}$  tem subsequência convergindo para uma solução mínima  $u : D \rightarrow \mathbb{R}$ .

Vamos mostrar que  $u$  assume os valores desejados no bordo.

Lembremos que

$$u_n|_{A_i} = n - \mu(n) \quad \text{e} \quad u_n|_{B_i} = -\mu(n). \quad (4.14)$$

Devemos mostrar que  $\{n - \mu(n)\}$  e  $\{-\mu(n)\}$  divergem.

Provaremos que  $\{\mu(n)\} \rightarrow \infty$ .

Suponhamos que não, ou seja, suponhamos que  $\exists$  subsequência  $\{u_n\}$  tal que  $\mu_n \xrightarrow{n \rightarrow \infty} \mu_0 < \infty$ .

Então, por (4.14), temos

$$\begin{aligned} u_n &\xrightarrow{n \rightarrow \infty} \infty \quad \text{em} \quad A_i, \\ \text{e } u_n &\xrightarrow{n \rightarrow \infty} -\mu_0 \quad \text{em} \quad B_i. \end{aligned}$$

Assim,  $u = \lim_{n \rightarrow \infty} u_n$  satisfaz  $u|_{A_i} = \infty$ ,  $u|_{B_i} = -\mu_0$ .

Seja  $(\nu_3)_n$  a terceira componente do vetor conormal unitário exterior ao bordo do gráfico de cada  $u_n$ .

Pela Afirmação 4.3,

$$\int_{\partial D} (\nu_3)_n ds = 0.$$

Temos,

$$\begin{aligned} \alpha &= \lim_{n \rightarrow \infty} \int_{\cup_i A_i} (\nu_3)_n ds = - \lim_{n \rightarrow \infty} \int_{\cup_i B_i} (\nu_3)_n ds \\ &\geq - \lim_{n \rightarrow \infty} \int_{\cup_i B_i} |(\nu_3)_n| ds \\ &> -\beta. \end{aligned}$$

Contradição.

Usamos na primeira igualdade o Lema 4.2(i) e na última desigualdade que  $|(\nu_3)_n| < 1$  em arcos geodésicos.

Então,  $\{\mu(n)\}$  diverge.

Suponhamos agora, que  $\{n - \mu(n)\}$  não diverge.

Logo, existe  $\{u(n)\}$  subsequência tal que  $\{n - \mu(n)\} \rightarrow c_0 < \infty$ .  
(4.14) implica que

$$u_n|_{A_i} \rightarrow c_0, \quad u_n|_{B_j} \rightarrow -\infty.$$

Novamente,

$$\int_{\partial D} (\nu_3)_n ds = 0.$$

Daí,

$$\begin{aligned} \alpha > \lim_{n \rightarrow \infty} \int_{\cup_i A_i} |(\nu_3)_n| ds &\geq \lim_{n \rightarrow \infty} \int_{\cup_i A_i} (\nu_3)_n ds \\ &= - \lim_{n \rightarrow \infty} \int_{\cup_i B_i} (\nu_3)_n ds \\ &\geq - \lim_{n \rightarrow \infty} \int_{\cup_i B_i} |(\nu_3)_n| ds \\ &= -(-\beta) = \beta. \end{aligned}$$

Contradição.

Portanto,  $u$  assume os valores no bordo como esperado, e a prova do *Caso 5* está concluída.

Terminamos então, a prova que (4.1) é suficiente para a existência de  $u$ .

Provaremos agora, que a condição (4.1) é necessária. Ou seja, provaremos que

*se  $\exists u : D \rightarrow \mathbb{R}$  solução mínima tal que  $u|_{A_i} = +\infty$ ,  $u|_{B_j} = -\infty$  e  $u|_{C_s} = f_s$  então, (4.1) vale para todo polígono  $\mathcal{P}$  inscrito em  $\partial D$  com*

$$\{\text{vértices } \mathcal{P}\} \subset \{\text{pontos finais de } A_i, B_j\}.$$

Seja  $\mathcal{P} \subset D$  um tal polígono.

Denotemos por  $\hat{A}_i, \hat{B}_j$  os arcos  $A_i, B_j \subset \partial D$  que pertencem a  $\mathcal{P}$ .

Se  $\{\hat{A}_i\} = \emptyset$  e  $\{\hat{B}_j\} = \emptyset$  então,  $\alpha = 0, \beta = 0$  e, claramente, temos que (4.1) vale.

Sejam  $\Sigma = \text{gráfico } u, \Sigma_n = \Sigma \cap (M \times [-n, n])$  e  $D_n \subset D$  a projeção vertical de  $\Sigma_n$  em  $D$ .

Façamos  $u_n := u|_{D_n}$ .

Afirmamos que, quando  $n \rightarrow \infty$ ,

$$u_n \rightarrow u, \quad D_n \rightarrow D, \quad \Sigma_n \rightarrow \Sigma,$$

uniformemente.

Vamos provar isto.

Para  $n$  suficientemente grande, os arcos convexos  $C_s$  pertencem a  $\partial D_n$ . A parte restante de  $\partial D_n$  é formado por arcos não-geodésicos  $A_i^n, B_j^n \subset D$  cujos pontos finais convergem para os pontos finais de  $A_i, B_j$ , respectivamente, quando  $n \rightarrow \infty$ .

Seja  $\delta > 0$  pequeno fixo.

Para cada  $n$ , seja  $D_{n\delta} \subset D_n$  tal que  $\partial D_{n\delta}$  é formado pelos pontos de  $\partial D_n$  que estão a uma distância  $\delta$  dos vértices de  $D_n$  e por arcos circulares centrados nos vértices de  $D_n$ , de raio  $\delta$ .

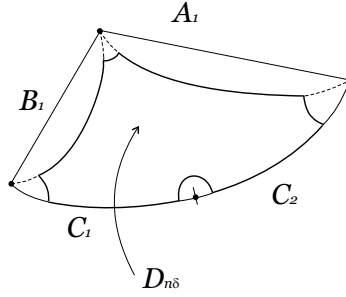


Figura 4.13: Domínio  $D_{n\delta}$

Denotemos por  $A_i^{n\delta}$  o subarco de  $A_i^n$  contido em  $\partial D_{n\delta}$ .

Em todo compacto  $K \subset A_i^{n\delta}$  temos a seguinte convergência:

$$A_i^{n\delta} \xrightarrow{n \rightarrow \infty} A_i.$$

Esta afirmação é consequência do plano tangente a  $\Sigma_n$  em pontos  $z_n = (p, u_n(p))$ , onde  $p$  é perto de  $A_i$ , convergir  $C^\infty$  para o plano tangente a  $A_i \times \mathbb{R}$ , quando  $n \rightarrow \infty$ .

De fato,  $\Sigma$  superfície estável implica que  $\forall z \in \text{int } \Sigma$ , a curvatura de  $\Sigma$  é uniformemente limitada em qualquer disco intrínseco  $D_r(z)$ , disjunto do bordo  $\Gamma(n)$  do gráfico de  $u_n$  e o limite depende somente da distância entre  $D_r(z)$  e  $\Gamma(n)$  (ver [Sc]). Consequentemente, em uma vizinhança aberta  $U \subset \Sigma$  de  $z$ ,  $\Sigma$  é gráfico de geometria limitada sobre  $D_\rho(z)$ , onde  $\rho$  é pequeno e independente de  $n$ .

Assim, se o plano tangente a  $\Sigma_n$  em  $z_n$  não converge  $C^\infty$  para plano tangente a  $A_i \times \mathbb{R}$ , temos que, para  $p$  suficientemente próximo de  $A_i$ , a projeção vertical de  $D_\rho(z)$ , e portanto de  $\Sigma_n$ , não está contida em  $D_n$ . Contradição.

O mesmo argumento vale para os subarcos  $B_j^{n\delta}$  de  $B_j$  contidos em  $\partial D_{n\delta}$ , ou seja, em todo  $K \subset B_j^{n\delta}$  compacto,

$$B_j^{n\delta} \xrightarrow{n \rightarrow \infty} B_j .$$

Fazendo  $\delta \rightarrow 0$ , temos

$$u_n \rightarrow u, \quad D_n \rightarrow D \quad e \quad \Sigma_n \rightarrow \Sigma ,$$

como afirmamos.

Agora, seja  $\mathcal{P}$  polígono satisfazendo as hipóteses do Teorema tal que,  $\{\hat{A}_i\} \neq \emptyset$  e  $\{\hat{B}_j\} = \emptyset$ .

Definamos  $\mathcal{P}_n^\delta$  como a curva construída a partir de  $\mathcal{P}$  trocando os arcos  $\hat{A}_i$  por  $\hat{A}_i^{n\delta}$  e acrescentando arcos circulares contidos em  $\partial D_{n\delta}$  de modo que  $\mathcal{P}_n$  seja fechada.

Denotaremos por  $\mathcal{P}^\delta$  a curva construída de modo análogo só que trocando  $\hat{A}_i$  por  $\hat{A}_i^\delta$ , onde  $\hat{A}_i^\delta$  é formado pelos pontos de  $\hat{A}_i$  a uma distância maior ou igual a  $\delta$  dos seus pontos finais. Temos  $\mathcal{P}_n^\delta \xrightarrow{n \rightarrow \infty} \mathcal{P}_n$ .

Para  $n$  grande,  $\mathcal{P}_n^\delta \subset D_n$  é curva mergulhada.

Pela Afirmação 4.3,

$$\int_{\mathcal{P}_n^\delta} (\nu_3)_n ds = 0 , \tag{4.15}$$

onde  $(\nu_3)_n$  é o conormal ao bordo do gráfico de  $u$  restrito ao domínio limitado por  $\mathcal{P}_n^\delta$ .

Ou seja,

$$\int_{\bigcup_i \hat{A}_i^{n\delta}} (\nu_3)_n ds = - \int_{\mathcal{P}_n^\delta - \bigcup_i \hat{A}_i^{n\delta}} (\nu_3)_n ds .$$

Temos,

$$\lim_{n \rightarrow \infty} \int_{\bigcup_i \hat{A}_i^{n\delta}} (\nu_3)_n ds = \sum_i |\hat{A}_i^\delta| = \alpha - 2 \cdot \delta . \tag{4.16}$$

e

$$\begin{aligned}
\lim_{n \rightarrow \infty} \int_{\mathcal{P}_n^\delta - \bigcup_i \hat{A}_i^{n\delta}} -(\nu_3)_n ds &\leq \lim_{n \rightarrow \infty} \int_{\mathcal{P}_n^\delta - \bigcup_i \hat{A}_i^{n\delta}} |-(\nu_3)_n| ds . \\
&< \lim_{n \rightarrow \infty} \int_{\mathcal{P}_n^\delta - \bigcup_i \hat{A}_i^{n\delta}} 1 ds . \\
&= \lim_{n \rightarrow \infty} \|\mathcal{P}_n^\delta - \bigcup_i \hat{A}_i^{n\delta}\| \\
&= \|\mathcal{P}^\delta\| - \sum_i \|\hat{A}_i^\delta\| \\
&= \|\mathcal{P}^\delta\| - (\alpha - 2 \cdot \delta) . \tag{4.17}
\end{aligned}$$

Agora, fazendo  $\delta \rightarrow 0$  em (4.16) e (4.17), temos que

$$\begin{aligned}
\lim_{n \rightarrow \infty} \int_{\bigcup_i \hat{A}_i^{n\delta}} (\nu_3)_n ds &= \alpha , \\
\lim_{n \rightarrow \infty} \int_{\mathcal{P}_n^\delta - \bigcup_i \hat{A}_i^{n\delta}} -(\nu_3)_n ds &< \gamma - \alpha .
\end{aligned}$$

Usando (4.15), encontramos,

$$2 \cdot \alpha < \gamma$$

e a necessidade de  $2 \cdot \alpha < \gamma$  para a existência de  $u$  está provada.

Quando polígono  $\mathcal{P}$  satisfazendo o Teorema é tal que  $\{\hat{B}_j\} \neq \emptyset$  e  $\{\hat{A}_i\} = \emptyset$ , a prova é análoga.

E, quando  $\{\hat{A}_i\} \neq \emptyset$   $\{\hat{B}_j\} \neq \emptyset$  fazemos

$$\begin{aligned}
\int_{\mathcal{P}_n^\delta} (\nu_3)_n ds = 0 &\Leftrightarrow \int_{\bigcup_i \hat{A}_i^{n\delta}} (\nu_3)_n ds = - \int_{\mathcal{P}_n^\delta - \bigcup_i \hat{A}_i^{n\delta}} (\nu_3)_n ds , \\
\int_{\mathcal{P}_n^\delta} (\nu_3)_n ds = 0 &\Leftrightarrow \int_{\bigcup_i \hat{B}_j^{n\delta}} -(\nu_3)_n ds = \int_{\mathcal{P}_n^\delta - \bigcup_i \hat{B}_j^{n\delta}} (\nu_3)_n ds .
\end{aligned}$$

Aplicando os mesmos argumentos nos dois caso, encontramos  $2 \cdot \alpha < \gamma$ ,  $2 \cdot \beta < \gamma$ , simultaneamente.

Portanto, (4.1) é condição necessária a existência da aplicação  $u$  e a prova do teorema está concluída. ■

# Bibliografia

- [CM] T.H.Colding and W.P.Miniciozzi. *Minimal Surfaces*, Courant Lectures in Mathematics **4**, New York University (1999).
- [HLR] D. Hoffman, J.H.S. de Lira, and H. Rosenberg. *Constant Mean Curvature Surfaces in  $M^2 \times \mathbb{R}$* . Preprint 2003.
- [JS] H. Jenkins and J. Serrin. *Variational Problems of Minimal Surfaces Type II. Boundary Value Problems for the Minimal Surface Equation*, Arch. Rational Mech. Anal. **21** (1966), 321-342.
- [La] H. B. Lawson. *Lectures on Minimal Submanifolds*, vol 1, Publish or Perish, Inc., 1980.
- [Mo] C. B. Morrey. *The Problem of Plateau on a Riemannian Manifold*, Annals of Mathematics **49** (1948), 807-851.
- [MY1] W.H. Meeks III and S.T. Yau. *The Classical Plateau Problem and the Topology of Three-dimensional Manifolds*, Topology **21**(1982), 409-442.
- [MY2] W.H. Meeks III and S.T. Yau. *The Existence of Embedded Minimal Surfaces and the Problem of Uniqueness*, Math. Z. **179** (1982), 151-168.
- [NR] B. Nelli and H. Rosenberg. *Minimal Surfaces in  $\mathbb{H}^2 \times \mathbb{R}$* , Bull. Braz. Math. Soc., New Series **33** (2002), 263-292.
- [Os] R. Osserman. *A proof of regularity everywhere of the classical solution to Plateau's problem*, Ann. of Math. **91** (1970), 550-569.
- [Ro] H. Rosenberg. *Minimal Surfaces in  $M^2 \times \mathbb{R}$* , Illinois Journal of Mathematics **46** (2002), 1177-1195.

- [RS] H. Rosenberg and J. Spruck. *On the existence of convex hypersurfaces of constant Gauss Curvature in Hyperbolic Space*, J. Differential Geometry **40** (1994), 379-409.
- [Sc] R. Schoen. *Estimates for stable minimal surfaces in three dimensional manifolds*, Seminar on Minimal Submanifolds, Princeton Univer. Press (1983), 111-126.
- [Se] J. Serrin. *A Priori Estimates for Solutions of Minimal Surface Equation*, Arch. Rational Mech. Anal. **14** (1963), 376-383.

# Livros Grátis

( <http://www.livrosgratis.com.br> )

Milhares de Livros para Download:

[Baixar livros de Administração](#)

[Baixar livros de Agronomia](#)

[Baixar livros de Arquitetura](#)

[Baixar livros de Artes](#)

[Baixar livros de Astronomia](#)

[Baixar livros de Biologia Geral](#)

[Baixar livros de Ciência da Computação](#)

[Baixar livros de Ciência da Informação](#)

[Baixar livros de Ciência Política](#)

[Baixar livros de Ciências da Saúde](#)

[Baixar livros de Comunicação](#)

[Baixar livros do Conselho Nacional de Educação - CNE](#)

[Baixar livros de Defesa civil](#)

[Baixar livros de Direito](#)

[Baixar livros de Direitos humanos](#)

[Baixar livros de Economia](#)

[Baixar livros de Economia Doméstica](#)

[Baixar livros de Educação](#)

[Baixar livros de Educação - Trânsito](#)

[Baixar livros de Educação Física](#)

[Baixar livros de Engenharia Aeroespacial](#)

[Baixar livros de Farmácia](#)

[Baixar livros de Filosofia](#)

[Baixar livros de Física](#)

[Baixar livros de Geociências](#)

[Baixar livros de Geografia](#)

[Baixar livros de História](#)

[Baixar livros de Línguas](#)

[Baixar livros de Literatura](#)  
[Baixar livros de Literatura de Cordel](#)  
[Baixar livros de Literatura Infantil](#)  
[Baixar livros de Matemática](#)  
[Baixar livros de Medicina](#)  
[Baixar livros de Medicina Veterinária](#)  
[Baixar livros de Meio Ambiente](#)  
[Baixar livros de Meteorologia](#)  
[Baixar Monografias e TCC](#)  
[Baixar livros Multidisciplinar](#)  
[Baixar livros de Música](#)  
[Baixar livros de Psicologia](#)  
[Baixar livros de Química](#)  
[Baixar livros de Saúde Coletiva](#)  
[Baixar livros de Serviço Social](#)  
[Baixar livros de Sociologia](#)  
[Baixar livros de Teologia](#)  
[Baixar livros de Trabalho](#)  
[Baixar livros de Turismo](#)